

# Suivi de la végétation d'intérêt patrimoniale à proximité d'ouvrages miniers

Octobre 2015 à octobre 2020



Equipe conservation
Service Préservation de l'Environnement

Vale Nouvelle-Calédonie Février 2021



# Table des matières

1.	. Avant-propos	5
2.	. Objectif et présentation de la zone d'étude :	5
3.	. Fréquence et durée du suivi	7
4.	. Présentation des paramètres de suivi :	7
	4.1 Etat des cours d'eau	8
	4.2 Etat de santé de la végétation et de son activité photosynthétique	8
	4.3. Etat de la régénération naturelle	10
	4.4. Les dépôts de poussières	11
	4.5. Les symptômes foliaires	12
	4.6. Evaluation du bruit	13
	4.7. Coupe de bois	13
	4.8. Les déchets	14
	4.9. Les espèces exogènes	14
	4.10 Suivi photographique des formations végétales	14
5.	. Procédure en cas d'impact négatif	14
5.	. Résultats par site de suivi	15
	6.1 Site de suivi SM1 :	17
	6.1.1. Poussière :	17
	6.1.2. Symptômes foliaires :	18
	6.1.3. Régénération :	18
	6.1.4. Débris ligneux :	19
	6.1.5. Espèces exogènes :	19
	6.1.6. Coupe de bois :	19
	6.1.7. Déchets :	19
	6.1.8. Bruit :	19
	6.1.9. Etat du cours d'eau :	20
	6.1.10. Etat de santé de la végétation :	20
	6.2 Site de suivi SM3 :	21
	6.2.1. Poussière :	21
	6.2.2. Symptômes foliaires :	22
	6.2.3. Régénération :	23
	6.2.4. Débris ligneux :	23
	6.2.5. Espèces exogènes :	23
	6.2.6. Coupe de bois :	24
	6.2.7. Déchets :	24
	6.2.8. Bruit :	24
	6.2.9. Etat du cours d'eau :	24



6.2.10. Etat de santé de la végétation :	24
6.3 Site de suivi SM4 :	25
6.3.1. Poussière :	26
6.3.2. Symptômes foliaires :	26
6.3.3. Régénération :	26
6.3.4. Débris ligneux :	27
6.3.5. Espèces exogènes :	27
6.3.6. Coupe de bois :	27
6.3.7. Déchets :	27
6.3.8. Bruit :	27
6.3.9. Etat du cours d'eau	28
6.3.10. Etat de santé de la végétation :	28
6.4 Site de suivi SM5 :	29
6.4.1. Poussière :	29
6.4.2. Symptômes foliaires :	30
6.4.3. Régénération :	30
6.4.4. Débris ligneux :	31
6.4.5. Espèces exogènes :	31
6.4.6. Coupe de bois :	31
6.4.7. Déchets :	32
6.4.8. Bruit :	32
6.4.9. Etat de santé de la végétation :	32
6.5 Site de suivi SM6 :	33
6.5.1. Poussière :	33
6.5.2. Symptômes foliaires :	34
6.5.3. Régénération :	34
6.5.4. Débris ligneux :	34
6.5.5. Espèces exogènes :	35
6.5.6. Coupe de bois :	35
6.5.7. Déchets :	35
6.5.8. Bruit :	35
6.5.9. Etat de santé de la végétation :	35
6.6 Site de suivi SM7 :	36
6.6.1. Poussière :	36
6.6.2. Symptômes foliaires :	37
6.6.3. Régénération :	
6.6.4. Débris ligneux :	
6.6.5. Espèces exogènes :	



	6.6.6. Coupe de bois :	38
	6.6.7. Déchets :	38
	6.6.8. Bruit :	39
	6.6.9. Etat de santé de la végétation :	39
(	6.7 Site de suivi SM8 :	40
	6.7.1. Poussière :	40
	6.7.2. Symptômes foliaires :	41
	6.7.3. Régénération :	41
	6.7.4. Débris ligneux :	42
	6.7.5. Espèces exogènes :	42
	6.7.6. Coupe de bois :	42
	6.7.7. Déchets :	42
	6.7.8. Bruit :	42
	6.7.9. Etat de santé de la végétation :	43
(	6.8 Site de suivi SM9 :	43
	6.8.1. Poussière :	44
	6.8.2. Symptômes foliaires :	44
	6.8.3. Régénération :	45
	6.8.4. Débris ligneux :	45
	6.8.5. Espèces exogènes :	45
	6.8.6. Coupe de bois :	46
	6.8.7. Déchets :	46
	6.8.8. Bruit :	46
	6.8.9. Etat de santé de la végétation :	46
7.	Suivi VEGUSINE : Suivi de l'évolution de l'état de la végétation par télédétection	47
	7.1 Méthodologie	47
	7.2 Résultats	48
8.	Conclusion	50
9.	BIBLIOGRAPHIE	52
10.	. ANNEXE 1 : Résultats du suivi de la végétation à proximité d'ouvrages miniers	53



# 1. Avant-propos

L'activité minière peut être source de perturbations potentielles et engendrer des impacts indirects sur la végétation alentour (poussières, espèces exogènes, modifications hydriques et perturbations des cours d'eau, coupes de bois illégale, déchets, modification de la composition spécifique et de la structure des formations végétales...). Un plan de suivi de l'état de santé de la végétation à proximité d'ouvrages miniers a ainsi été engagé en 2015. Ce plan de suivi intègre le suivi des habitats paraforestiers et forestiers situés à proximité d'ouvrages miniers en réponse à l'arrêté n°2848-2013/ARR/DENV pour l'exploitation de la mine et de la verse V5, à l'arrêté n° 977-2016/ARR/DENV autorisant le défrichement de la CPA1 et à l'arrêté n° 2698-2016/PS autorisant l'exploitation du site minier de « Goro ».

# 2. Objectif et présentation de la zone d'étude :

Ce protocole de surveillance a pour objectif de détecter précocement tout impact potentiel des travaux miniers sur la végétation et dégradation de l'état de santé de la végétation sur des points localisés à proximité d'ouvrages miniers. Huit sites de suivi dont un site témoin ont été sélectionnés au niveau des formations paraforestières et forestières décrites par Jaffré en 2003 et le bureau d'étude SORECO en 2015 (Tableau 1 ; Figure 1).

Une analyse cartographique puis une reconnaissance de terrain a permis de valider les sites localisés à proximité de projets miniers (SMLT, CPKE, fosse minière, piste d'accès et carrière CPA1). Les points de suivi sont localisés en lisière de forêt et de maquis paraforestier. Un site témoin localisé au niveau de la réserve du Pic du Grand Kaori a été sélectionné car localisé hors zone d'influence de l'activité minière (Tableau 1 ; Figure 1). La figure 1 présente les huit sites de suivi. L'ensemble de ces massifs forestiers font aussi l'objet d'un suivi annuel de leur état de santé par télédétection (Bluecham) : activité photosynthétique, structure de la canopée, stress hydrique... (Figure 1)

Site	Projet	Localité	Type de zone - Description	Х	Υ
SM1	Fosse Minière	Kwe Est	Maquis paraforestier à <i>Gymnostoma deplancheanum s</i> urplombant l'affluent de la Kwe Est.	166,98242	-22,30059
SM3	Fosse Minière	Kwe Est	Maquis paraforestier sur pente en lisière de forêt. Affluent de la Kwe Est en contre-bas. Accès par un ancien layon.	166,970434	-22,299117
SM4	Fosse Minière	Kwe Est	Transition maquis paraforestier à <i>Gymnostoma deplancheanum</i> dense sur pente vers la forêt à <i>Arillastrum gummiferum</i> s urplombant l'afflkuent de la Kwe Est. Accès par un ancien layon.	166,977923	-22,3015
SM5	SMLT	SMLT	Forêt humide à proximité d'une piste en terre. Point de suivi de l' IAC (Etude sur l'impact des poussières)	166,964771	-22,301227
SM6	СРКЕ	Kwe Est	Forêt à chêne gommes. Accés par une vieille piste revegetalisée.	166,93326	-22,28888
SM7	CPA1	ко4	Lisiére de forêt à chêne gommes sur crête. Accés par une ancien layon.	166,933848	-22,290816
SM8	Piste	KO4	Forêt du Tuyau en bordure de piste en terre.	166,941174	-22,279842
SM9	Site témoin	Pic du Grand Kaori	Lisiére de foret. Accés par une piste en terre.	166,89494	-22,28448

Tableau 1 : Présentation des caractéristiques géographiques et écologiques des points de suivi et des projets miniers localisés à proximité.



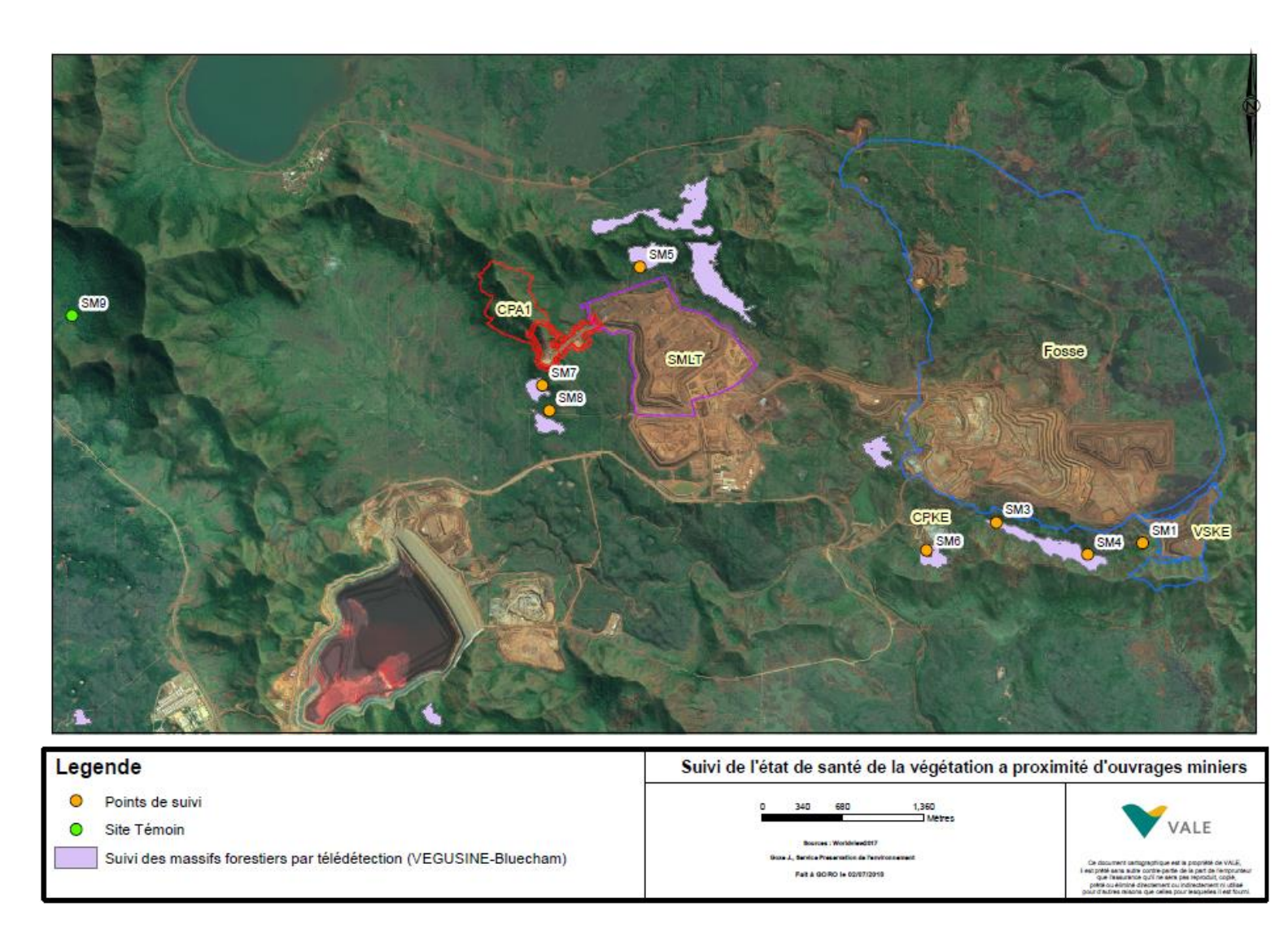


Figure 1 : Localisation des sites de suivi en orange à proximité d'ouvrages miniers et du site témoin en vert. Les massifs forestiers suivis par télédétection apparaissent en mauve sur la carte.



# 3. Fréquence et durée du suivi

Le suivi est réalisé trois fois par an avec une fréquence de suivi plus rapprochée durant la saison sèche de mai à décembre (Figure 2), période durant laquelle les émissions de poussières seront plus importantes et les précipitations moins importantes diminuant ainsi l'«effet lessivage» (Cape, 1993; Grantz et al., 2003; Bordez L. et al., 2016). La saison sèche peut également être associée à une baisse des nappes phréatiques. Les trois campagnes de suivi se dérouleront ainsi fin mai, début septembre et fin novembre.

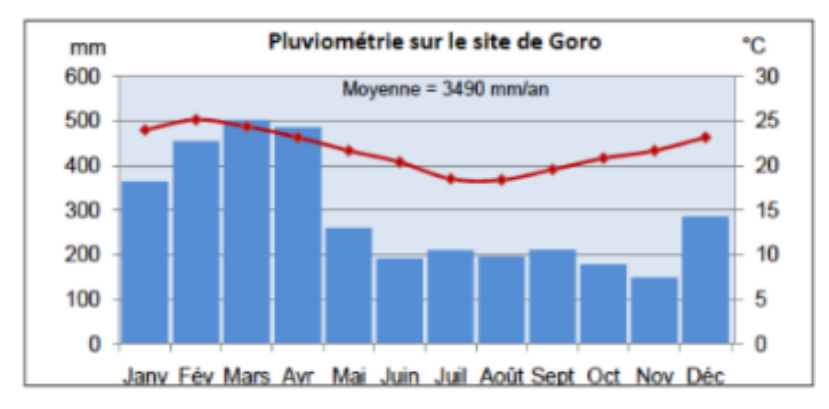


Figure 2 : Précipitation et température moyenne sur le site de Goro (2010 à 2013)

# 4. Présentation des paramètres de suivi :

Le protocole intègre le suivi de plusieurs paramètres, à savoir des sources de perturbation potentielles et des indicateurs de l'état de santé du milieu afin de détecter précocement tout impact potentiel des travaux miniers sur la végétation et dégradation de l'état de santé de la végétation (tableau 2)

Paramétre de suivi Indice		Indice	Description	Photographie
Etat de santé de la végétation	Quantitatif	Activité photosynthétique (FV/Fm)	Phenologie: Espéces en floraison et/ou fructification,	Vue d'ensemble
et Activité photosynthétique	Qualitatif Mauvais, Moyen, Bon phytosanitaire: Espèces et pathogénes associés d		de la végétation	
Poussiére	Quantitatif	Pourcentage d'individus (%)	Type de dépôts : Couche fine/diffuse, Petit amas localisé, Plaque	х
	Qualitatif	Rien, Leger, Moyen, Fort	Type de depois : couche fille/diffuse, Petit allias localise, Plaque	
Symptômes foliaires	Quantitatif	Pourcentage d'individus (%)	Espéces et Type de symptômes : Chloroses, Necroses, Déformations	х
symptomes romaires	Qualitatif	Rien, Leger, Moyen, Fort	12speces et Type de symptomes : Chloroses, Necroses, Deformations	
Etat do la régénération	Quantitatif	Activité photosynthétique (FV/Fm)		х
Etat de la régénération	Qualitatif	Rien, Legere, Moderee, Forte	1	
Bruit	Quantitatif	dB(A)	Type de bruit	,
DIUIL	Qualitatif	Rien, Leger, Moyen, Fort	Type de blait	/
Dehris ligneux au sol	Quantitatif	Deursentage de recouvrement (9/)	Dranchagas au sal cracants ancians décompasés	,
	et qualitatif	Pourcentage de recouvrement (%)	Branchages au sol : recents, anciens, décomposés	Х
Déchets	Quantitatif	Quantité	Time de déchete	х
	et qualitatif		Type de déchets	
Fxogéne	Quantitatif	Indice de braun-blanquet	Fenéros	х
	et qualitatif		Espéces	
Coupe de bois	Quantitatif	Quantite et Diamétre Espéces	Fenéras	Х
coupe de bois	et qualitatif		*	
Erosion du Sol	Qualitatif	Oui/Non	Source	Х
Cours d'eau	Qualitatif	Sec, Normal, Crue/debordement	Turbité	Х

Tableau 2 : Présentation des paramètres de suivi



Un paramètre de suivi supplémentaire a été rajouté en 2017 afin d'affiner l'évaluation de l'état de santé de la végétation et de l'état de la régénération naturelle. Pour chaque site de suivi, une mesure de l'activité photosynthétique des plantes est réalisée sur la strate arborée, la strate arbustive (sous-bois), la strate de plantules et la lisière. Ce paramètre de suivi permet de disposer d'un indicateur scientifique de l'état de santé de la végétation limitant les biais liés à une évaluation visuelle.

#### 4.1 Etat des cours d'eau

# 4.1.1. Indice qualitatif

Il est reconnu qu'un déficit hydrique ou un drainage insuffisant puisse impacter l'état de santé de la végétation (Bordez L., 2016; Soreco, 2015). L'activité minière pouvant être à l'origine de modifications hydriques, un indice qualitatif est ainsi attribué à chaque station afin d'apprécier l'état général du cours d'eau lors du suivi. Les indices visuels pour l'évaluation de l'état du cours d'eau sont présentés ci-dessous.

- Sec : Cours d'eau à sec, absence de mouvement d'eau.
- Normal: Mouvement d'eau perceptible. Le fond est visible.
- En cru/débordement : Fort débit et/ou débordement sur les berges.

# 4.2 Etat de santé de la végétation et de son activité photosynthétique

#### 4.2.1 Indice visuel qualitatif

Un indice qualitatif est attribué à chaque station afin d'évaluer l'état de santé global du milieu. Les indices visuels pour l'évaluation sont présentés ci-dessous :

- **Bon**: Très peu d'attaques phytosanitaires, Très peu voir absence de symptômes foliaires, observation de fruits/fleurs, présence de jeunes pousses. On note une bonne régénération au sol.
- **Moyen:** Etat de santé pouvant légèrement porter atteinte à la sensibilité d'un observateur expérimenté. Présence de symptômes foliaires de chlorose et/ou de nécrose, d'attaques phytosanitaires et/ou présence de poussière et/ou peu de jeunes pousses.
- Mauvais: Etat de santé de la végétation pouvant porter atteinte à la sensibilité d'un observateur inexpérimenté. Attaques phytosanitaires généralisées, absence de signes de fructification et de floraison, observation d'individus morts, présences de symptômes foliaires marqués et/ou abondance de poussières et/ou absence de jeunes pousses. Peu de régénération au sol.



# 4.2.2. Indice quantitatif

Des mesures de fluorescence chlorophyllienne de la végétation sont également réalisées sur chaque point de suivi grâce à un fluorimètre portatif qu'on appelle "PLANT EFFICIENCY ANALYZER", ou PEA meter (Cambridge Scientifique). L'émission de fluorescence est directement liée au processus de photosynthèse et permet ainsi d'évaluer l'état de stress de la plante. La fluorescence est observée au niveau des feuilles de toutes les plantes : c'est une conséquence de la transformation par la plante de l'énergie lumineuse en matière végétale. L'émission de fluorescence varie selon l'état de stress de la plante (Krause et al., 1991). La valeur numérique d'une plante saine est d'environ 0,8 et diminue en cas de stress (Krauss & Weiss, 1991; Kupper et al, 1996).

Ces mesures quantificatives sont réalisées sur une feuille mature sur :

- Un individu d'une espèce commune de la strate arborée.
- Un individu d'une espèce commune de la strate du sous-bois.
- Un individu en lisière.

Chaque individu est balisé pour ce suivi et deux mesures sont prises sur chaque individu afin d'estimer la moyenne de l'indice photosynthétique.

La mesure de fluorescence chlorophyllienne est effectuée de la manière suivante :

- Une surface foliaire test est placée dans l'obscurité par un « clip » durant 15 minutes. Sur le plan physiologique cette opération supprime la photosynthèse.
- Un flash lumineux est ensuite envoyé sur la surface test.
   L'énergie lumineuse excédant les possibilités de collecte des systèmes de photosynthèse est alors réémise sous forme de fluorescence, selon une cinétique particulière et numérisée par l'appareil (courbe de fluorescence).





# 4.3. Etat de la régénération naturelle

# 4.3.1. Indice semi-quantitatif

La régénération naturelle désigne la faculté d'un écosystème à se reconstituer spontanément. Elle permet notamment de maintenir la diversité génétique, de limiter les atteintes au sol et peut servir d'indicateur traduisant la dynamique d'un milieu. Un indice qualitatif est attribué à chaque station afin d'évaluer l'état de la régénération. Les indices visuels pour l'évaluation sont présentés ci-dessous :

- Rien : Absence de plantules récentes et de plants juvéniles au sol.
- **Peu :** Moins de 10 % de recouvrement pour les plantules et individus juvéniles au sol. Pas de recrutement récent de nouvelles plantules ou recrutement récent négligeable (Figure 3).
- **Modérée :** Entre 10 et 20 % de recouvrement pour les plantules et individus juvéniles au sol. On note le recrutement récent de nouvelles plantules au sol (Figure 4).
- **Forte :** Plus de 20% de recouvrement pour les plantules et individus juvéniles au sol. On note le recrutement récent de nouvelles plantules au sol formant des concentrations notables (Figure 5).







Figure 3 : Indice « Peu », pas de recrutement récent de nouvelles plantules. Figure 4 : Indice « Modérée », on note le recrutement récent de nouvelles plantules. Figure 5 : Indice « Forte », on note un important recouvrement de plantules formant des concentrations notables.

#### 4.3.2. Indice quantitatif

Des mesures de fluorescence chlorophyllienne sont également réalisées sur les plantules sur chaque point de suivi grâce à un PEA meter afin d'évaluer leur état de stress. Ces mesures quantitatives sont réalisées sur deux espèces communes. Deux mesures sont prises sur chaque individu balisé afin d'obtenir un indice Fv/Fm moyen.



# 4.4. Les dépôts de poussières

# 4.4.1. Indice visuel semi-quantitatif

Plusieurs études réalisées à l'international rapportent un effet des dépôts de poussières foliaires sur l'intégrité physiologique des végétaux environnants les zones industrielles d'émissions (Grantz et al., 2003, Ukpaka et al., 2011, Leghari, 2013 ; Pichhode & Nikhil, 2015,). Un indice est ainsi attribué à chaque station afin d'évaluer le dépôt de poussières sur la végétation. Les indices visuels pour l'évaluation sont présentés ci-dessous :

- Rien : Aucune poussière visible sur l'ensemble de la végétation.
- Léger: Poussière légèrement visible, sous forme de couches très fines et diffuses voir présence de petit amas très localisés (Figure 6) sur l'apex ou entre les nervures des feuilles sur quelques individus.
   On estime que 20 % des individus ou moins présentent des traces de poussière.
- Moyen: Poussière visible, sous forme de couches très fines et diffuses voir présence de petit amas très localisés (Figure 6) sur l'apex ou entre les nervures des feuilles sur quelques individus. Quelques individus présentent de la poussière sous formes de couches plus épaisses voir sous forme de plaques recouvrant tout ou partie du limbe des feuilles (Figure 7). On estime entre 20 et 50 % le nombre d'individus présentant de la poussière dont une partie présente de la poussière sous forme de plaques.
- Fort: Poussières fortement visibles sous forme de couches épaisses et de plaques sur toutes les strates de la végétation ainsi qu'au niveau des troncs et du sol. Les lichens et la litière au sol sont aussi recouvert que la végétation (Figure 8). On estime que plus de 50 % des individus présentent de la poussière en couche épaisse voir de la poussière sous forme de plaque recouvrent le limbe des feuilles.







Figure 6 : Indice « Léger », on note la présence de petits amas localisés sur les dépressions des feuilles (apex et bord du limbe). Figure 7 : Indice « Moyen », on note la présence de dépôts de poussière sous forme de plaque uniquement sur quelques individus de la station. Figure 8 : Indice « Fort », on note le dépôt de poussières sous forme de couche épaisse sur toutes les strates de la végétation. La litière et les troncs sont recouverts de poussière.



# 4.5. Les symptômes foliaires

#### 4.5.1. Indice semi-quantitatif

Plusieurs auteurs ont en effet rapporté que des dépôts de poussières en quantités trop importantes peuvent entrainer une diminution des pigments chlorophylliens et consécutivement des phénomènes de chloroses et de nécroses (Ukpaka et al., 2011, Leghari, 2013 ; Pichhode & Nikhil, 2015). Ces symptômes foliaires peuvent également être provoqués par un état de stress, des modifications hydriques (drainage insuffisant ou un déficit hydrique...), des carences.

Un indice semi-quantitatif correspondant à un pourcentage d'individus présentant des symptômes foliaires de chlorose, nécrose et/ou déformation est ainsi attribué à chaque station afin d'évaluer la présence de symptômes sur la végétation. Ce paramètre de suivi permet ainsi d'indiquer l'existence d'une perturbation du milieu. Les indices pour l'évaluation sont présentés ci-dessous :

- Rien: Aucun symptôme de chloroses ou de nécroses visible sur l'ensemble des plantes de la station.
- Léger: 1-5 % de plantes chlorosées et/ou présentant des nécroses. Symptômes légers non détectables par un observateur inexpérimenté mais détectable par un observateur expérimenté (Figure 9). L'état de santé de l'individu ne semble pas impacté malgré la présence symptômes.
- Moyen: 5-20 % de plantes chlorosées et/ou présentant des nécroses visibles. Symptômes détectables par un observateur inexpérimenté. L'état de santé de l'individu ne semble pas impacté malgré la présence de symptômes.
- Fort: Plus de 20% de plantes chlorosées et/ou nécrosées. Les symptômes sont observables sur plusieurs strates. Ces symptômes peuvent porter atteinte à la sensibilité d'un observateur inexpérimenté (Figure 10). L'état de santé des individus est impacté (défoliation...).





Figure 9 : Illustration d'une chlorose marginale sur *Pittosporum sp.* non détectable par un observateur inexpérimenté. Figure 10 : Illustration d'une chlorose marquée entre les nervures d'Arillastrum gummiferum pouvant porter atteinte à la sensibilité d'un observateur inexpérimenté.



# 4.6. Evaluation du bruit

# 4.6.1. Indice semi-quantitatif

Un indice semi-quantitatif correspondant à une gamme de niveaux sonores en décibel est attribué à chaque station afin d'évaluer le bruit au niveau de la station de suivi. Les indices sont basés sur les niveaux sonores du trafic routier définit par l'Office of Planning, Environment, & Realty (HEP) du département des transports des états Unis1 et sont présentés ci-dessous :

Rien: vent: 10dB

Léger: Oiseaux, cours eaux, alarme de recul des engins à peine perceptible: 20 – 40dB

- Moyen: Alarme de recul des engins bien perceptible: 40dB – 80db

 Fort: Alarme de recul bien perceptible qui couvre le chant des oiseaux, roulage des engins, grincement des chenilles: > 80dB

# 4.7. Coupe de bois

L'activité minière par l'intermédiaire de la création de nouvelles pistes peut dans certains cas favoriser l'accès aux forêts et engendrer des coupes de bois illégales. Toute coupe de bois illégale est ainsi relevée sur les stations de suivi. Les espèces concernées, la quantité et le diamètre des tiges sont relevés (Figure 11).



Figure 11 : Illustration de coupes de bois illégales.

<sup>&</sup>lt;sup>1</sup> https://www.fhwa.dot.gov/environment/noise/construction\_noise/handbook/handbook09.cfm



#### 4.8. Les déchets

Un indice qualitatif correspondant au type de déchets et un indice quantitatif correspondant à la quantité de déchets répertoriés sur la station de suivi sont relevés. Les déchets sont systématiquement récupérés.

# 4.9. Les espèces exogènes

Un indice quantitatif est attribué à toute espèce exogène animale ou végétale rencontrée sur la station de suivi selon la méthode phytosociologiques de Braün-Blanquet. L'indice de Braun-Blanquet est un coefficient d'abondance permettant d'évaluer le recouvrement d'une espèce (Tableau 3).

Code	Description	Abondance/ Recouvrement
+	Individu ou peuplement isolé	<1%
1	Plusieurs petits peuplements	1-5%
2	Peuplements moyennement abondants	6-25%
3	Peuplements abondants	26-50%
4	Peuplements très abondants	51-75%
5	Quasiment mono-spécifique	76-100%

Tableau 3 : Coefficient d'abondance et correspondance (selon la table de Braün-Blanquet)

# 4.10 Suivi photographique des formations végétales

Pour chaque station de suivi, une photographie de la formation végétale dans son ensemble est prise au même emplacement à chaque suivi. L'emplacement pour la prise de photo est marqué d'un repère (piquet). Une photographie est également prise pour chaque paramètre de suivi afin d'illustrer l'indice qualitatif, semi-quantitatif et/ou quantitatif associé.

# 5. Procédure en cas d'impact négatif

Si des changements négatifs et significatifs sont constatés sur un ou plusieurs paramètres de suivi, la Mine en sera informée dans les plus brefs délais et des mesures correctrices pourront être mise en œuvre (ex : plan de communication en cas de détection d'une espèce exogène envahissante et/ou programmation d'une campagne d'éradication, limitation des accès en cas de coupe de bois ou de dépôts de déchets, mise en place de mesures de gestion des poussières...).



# 6. Résultats par site de suivi

Les résultats liés à l'évaluation des différents paramètres de suivi entre octobre 2015 et octobre 2020 sont présentés séparément pour chaque site de suivi (Annexe 1). Les défrichements réalisés à proximité des sites de suivi entre 2013 et 2020 sont présentés sur la figure 12.



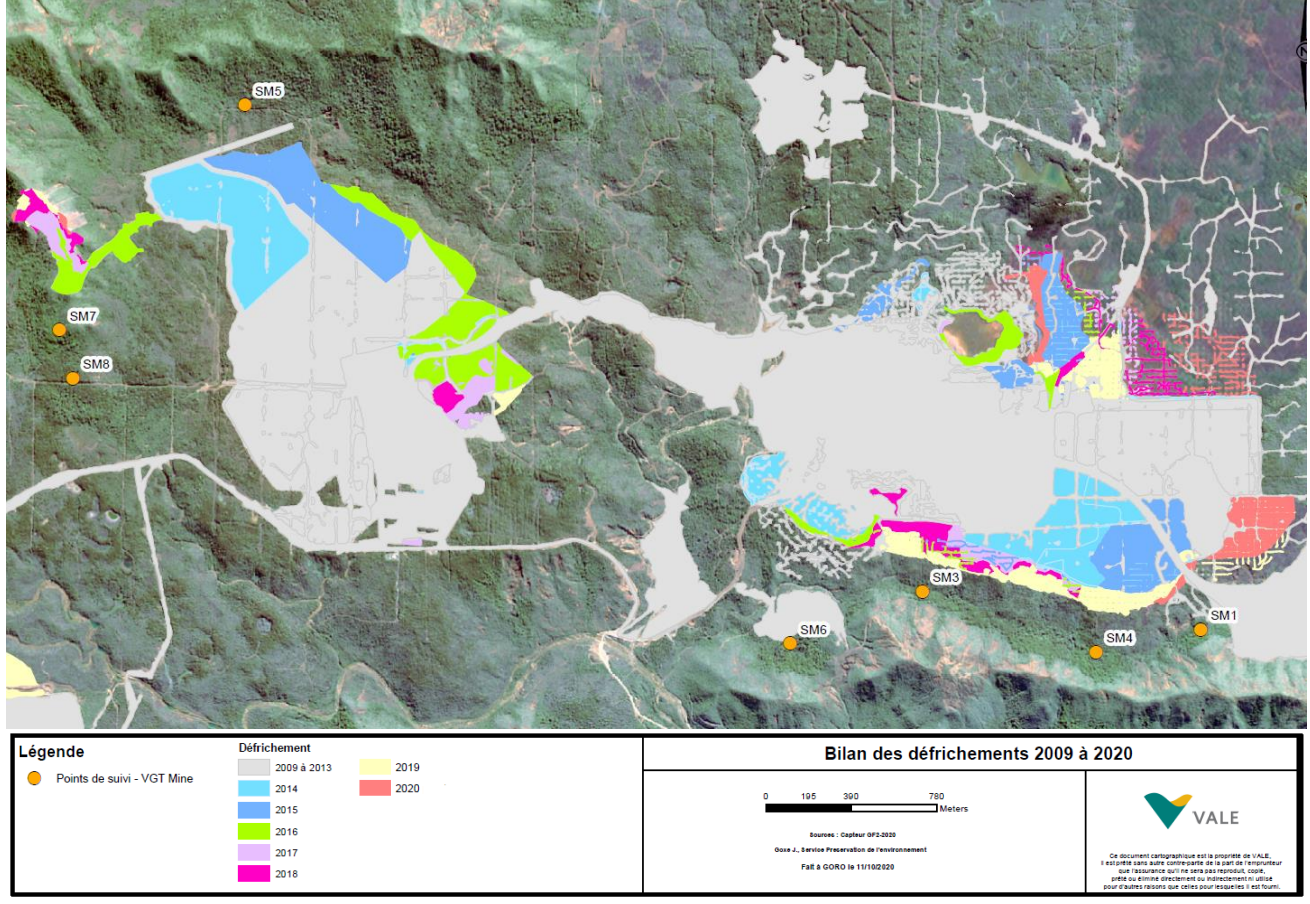


Figure 12: Bilan des défrichements miniers réalisés entre 2009 et 2020 et localisation des points de suivi de l'état de santé de la végétation.



#### 6.1 Site de suivi SM1:

Le site SM1 correspond à un maquis paraforestier à *Gymnostoma deplancheanum* (Figure 13, Figure 14). Ce site héberge deux espèces sensibles *Planchonella pronyensis* et *Pycnandra glabella*.





Figure 13 : Vue d'ensemble de la formation végétale du site SM1 en octobre 2015. Figure 14 : Vue d'ensemble de la formation végétale du site SM1 en octobre 2020.

#### 6.1.1. Poussière:

Globalement, on note une tendance à la diminution des dépôts de poussière depuis le début des suivis (Annexe1, Annexe 2). Les dépôts de poussières ont été constatés sur près de 20 % des individus entre 2015 et 2016 et ont été qualifié de « Moyen ». Quelques individus ont présenté des dépôts sur le limbe des feuilles de type "plaque" durant cette période. On constate une diminution par lessivage à partir de 2017 puis une légère augmentation des dépôts de poussières en 2019 restant toutefois qualifié de « léger ». Les dépôts se stabilise par la suite jusqu'en 2020 avec 15 % d'individus présentant de la poussière. Fin 2020, les dépôts concernent essentiellement les espèces dont les feuilles forment une coupelle avec leurs marges récurvées (Arillastrum gummiferum, Styphelia sp., Codia spatulata...). Ils se concentrent principalement sur l'apex et au creux des nervures des feuilles du bas témoignant d'un phénomène de lessivage par la pluie. Ces dépôts sont observés préférentiellement en lisière.

Les défrichements réalisés fin 2015 expliquent les dépôts de poussières plus importants constatés en 2016 (Figure 12). Aucun défrichement n'ayant été réalisé en 2016 et les défrichements ayant nettement diminué à proximité de SM1 en 2017 puis en 2018, le lessivage des poussières durant la saison des pluies début 2017 et début 2018 explique la diminution des dépôts de poussières (Figure 12, Figure 17, Figure 18). L'augmentation de l'activité minière par rapport à 2018 à proximité de SM1 explique l'augmentation des dépôts de poussières en 2019.









Figure 15 : Lisiére de la formation végétale de SM1 en octobre 2020. Figure 16: Dépôts de poussiéres sous forme de plaque observés sur quelques individus en 2016. Figure 17: Dépôts de poussiéres en grande partie léssivés sur quelques individus en mai 2018. Figure 18 : Dépôts de poussiéres sous forme de traces en octobre 2020.



#### 6.1.2. Symptômes foliaires :

L'évaluation des symptômes foliaires a permis de mettre en évidence quelques chloroses et/ou nécroses foliaires anecdotiques sur moins de 5 % des individus début 2016, début 2017 et de 2018 à 2020 conférant un indice de type « léger » au site de suivi. Globalement, les symptômes se présentent sous formes de chloroses diffuses à ponctuées sur quelques individus (Syzygium sp., Arillastrum gummiferum...) et de nécroses ponctuées anecdotiques sur quelques espèces. Il a été observé une augmentation des symptômes foliaires en octobre 2016 et novembre 2017 avec près de 10 % des individus présentant des symptômes foliaires. Les symptômes sont apparus plus prononcés durant la saison sèche en octobre 2016 et en novembre 2017 avec des phénomènes de dessèchement d'individus sur pied (Deplanchea speciosa, Gymnostoma deplancheanum, Casearia sp.) et des traces de brulures de la surface foliaires de quelques individus (Figure 19, Figure 20, Figure 21). Ses symptômes ont été relevés en lisière. Un indice de type « moyen » a été assigné pour ce site en octobre 2016 et novembre 2017. Un indice de type « Léger » a été assigné à ce site de suivi en 2018 et 2020 du fait d'une diminution des symptômes foliaires recensés sur moins de 5 % des individus (Figure 22, Annexe 1, Annexe 2).









Figure 19 : Gymnostoma deplancheanum séchés sur pied en octobre 2016. Figure 20 : Ixora francii séché sur pied en novembre 2017. Figure 21 : Chloroses marginales marquées sur l'ensemble d'un individu d'Ixora francii en lisière en novembre 2017. Figure 22 : Chlorose internervale sur les feuilles d'un individu de Pleioluma baueri en lisière en octobre 2020.

# 6.1.3. Régénération :

L'ensemble des suivis ont mis en évidence une bonne diversité de plantules et de plants juvéniles atteignant près de 10 % de recouvrement au sol au niveau de ce site (Figure 23). Le recouvrement des plantules n'a pas varié entre octobre 2015 et octobre 2020. Un indice de type « modérée » a été définit pour l'état de la régénération au niveau de ce site de suivi.



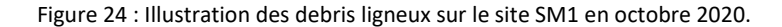
Figure 23 : A Gauche : Régénération sur le site SM1 en mai 2020. A

droite: Régénération sur le site SM1 en octobre 2020



# 6.1.4. Débris ligneux :

La quantité de debris ligneux au sol n'a pas variée entre octobre 2015 et octobre 2020. On evalue à prés de 10% le recouvrement au sol de ces debris (Figure 24). Les debris sont essentiellement constitués de petits branchages et de quelques troncs d'arbre de plus gros diamétre datant de plusieurs années au vu de leur état de décomposition.





# 6.1.5. Espèces exogènes :

De la rouille a régulièrement été détectée sur *Eugenia stricta* et *Eugenia hurlimanii* lors des suivis réalisés entre octobre 2015 et octobre 2020.

# 6.1.6. Coupe de bois :

Des traces d'anciennes coupes de bois datant de plusieurs années probablement pour la mise en place d'une ligne tomographique pour l'exploration miniére ont été constatées sur ce site (Figure 25). Parmis les espèces concernées on citera: Gymnostoma deplancheanum, Deplanchea speciosa, Longetia buxoides, Dracophyllum sp, Gardenia aubryi, Dacrydium araucarioides...Aucune coupe de bois recente n'a été relevée entre octobre 2015 et octobre 2020.



Figure 25 : Ancienne coupe de bois. On note que l'individu a rejeté de souche.

#### 6.1.7. Déchets :

Un « tuteur de repérage » de ligne tomographique a été retrouvé sur ce point de suivi en octobre 2016.

# 6.1.8. Bruit :

Seul un bruit de fond correspondant au roulage minier a été relevé durant l'ensemble des suivis entre octobre 2016 et octobre 2020. Le niveau de « nuisance sonore » n'a donc pas dépassé 20 à 40 db conformément aux niveaux sonores du trafic routier définit par l'Office of Planning, Environment, & Realty (HEP) du département des transports des états Unis2.

<sup>&</sup>lt;sup>2</sup> https://www.fhwa.dot.gov/environment/noise/construction\_noise/handbook/handbook09.cfm



#### 6.1.9. Etat du cours d'eau :

Le niveau du cours d'eau situé en contre-bas du point de suivi a fortement varié entre octobre 2015 et octobre 2020 (Figure 26, Figure 27). Les deux premiers suivis ont été réalisés suite à de fortes pluies ayant perdurées plusieurs jours. De ce fait, le niveau d'eau est apparu plus élevé et est légèrement sortie de son lit en octobre 2015 et mai 2016. Le cours d'eau est apparu totalement asséché lors des saisons sèches d'octobre 2016 et de septembre, novembre 2017 et septembre et novembre 2019 (Figure 27). Aucun asséchement n'a été observé durant la saison sèche de 2018 et 2020 (Figure 26).



Figure 26 : Photographie du cours d'eau actif en novembre 2018. Figure 27 : Cours d'eau sec en octobre 2020.

#### 6.1.10. Etat de santé de la végétation :

Globalement, la végétation au niveau de ce site de suivi est apparue en bonne état de santé avec une légère dégradation en octobre 2016 et novembre 2017 où il a été constaté une augmentation des symptômes foliaires ainsi que la présence de quelques individus morts sur pied. L'augmentation des symptômes foliaires n'apparait pas liée aux dépôts de poussières qui tendent à diminuer sur le site depuis le début du suivi (Annexe 1, Annexe 2).

Durant l'ensemble des suivi, l'indice d'activité photosynthétique moyen est apparu supérieur à 0.764 suggérant un bon état de santé de la végétation malgré l'augmentation des symptômes foliaires et les quelques cas de mortalité en novembre 2017 (Figure 28, Annexe 3). En novembre 2019, la formation végétale a présenté un indice d'activité photosynthétique inférieur au site témoin. Cet indice de l'ordre de 0.764 traduit toutefois un bon état de santé de la végétation et n'a pas été accompagné d'une augmentation des symptômes foliaires qui traduirait un stress de la végétation. Aucune attaque phytosanitaire majeure n'a été constatée durant l'ensemble des suivis. En 2020, L'indice d'activité photosynthétique apparait équivalent à l'activité photosynthétique du site témoin.



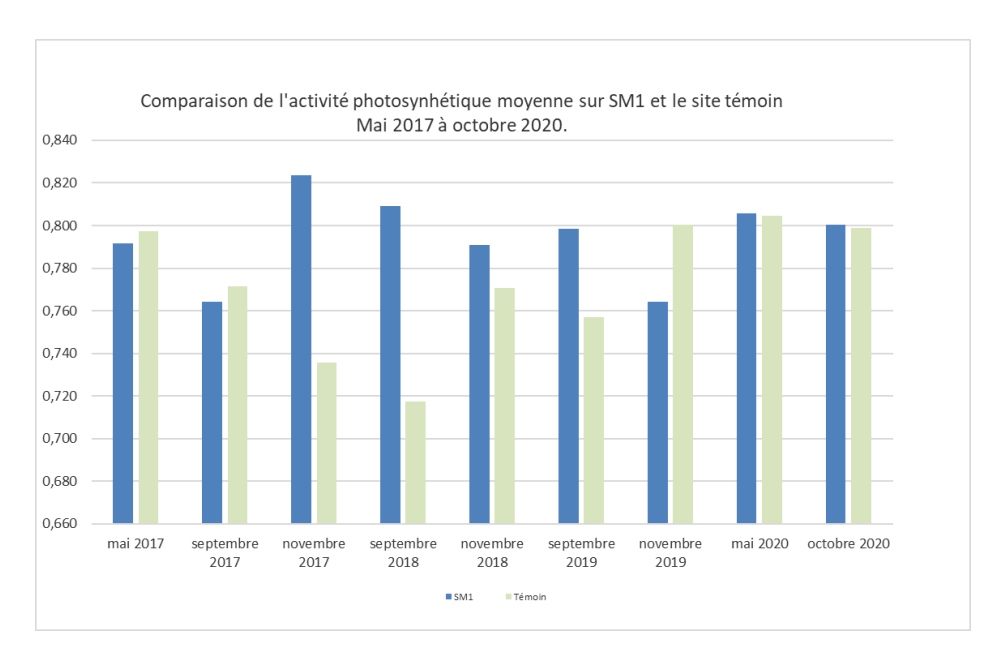


Figure 28 : Evolution de l'indice d'activité photosynthétique moyen de SM1 et du site témoin entre mai 2017 et octobre 2020.

# 6.2 Site de suivi SM3:

Le site SM3 est un maquis paraforestier sur pente situé en lisière de la forêt dite de la Kwe Est.





Figure 29 : Vue d'ensemble de la formation végétale du site SM3 en octobre 2015. Figure 30 : Vue d'ensemble de la formation végétale du site SM3 en octobre 2020.

# 6.2.1. Poussière:

Globalement, on note une augmentation des dépôts de poussière en mai 2017 puis une stabilisation jusqu'en octobre 2020 (Annexe 1, Annexe 2). L'évaluation des dépôts de poussière sur la végétation a permis d'attribuer un indice de type « Léger » en 2015 et 2016 avec 10 % d'individus présentant des dépôts (Figure 32) puis un indice de type « Moyen » entre 2017 et 2020 avec 20% des individus présentant des dépôts de poussières. En octobre 2020, les dépôts se présentes sous forme de petites plaques en partie lessivées au niveau de la lisière et dans une moindre mesure au niveau du sous-bois de cette formation végétale.



L'augmentation des dépôts de poussières observée en 2017 au niveau de la lisière de la formation végétale s'explique par l'augmentation des surfaces défrichées au sud de la fosse minière en 2017.







Figure 31 : Vue de la lisière de la formation végétale du site SM3 en 2018. Figure 32 : Dépôts de poussières sous forme de fines couches peu perceptibles sur le limbe des folioles de *Myodocarpus fraxinifolius* en 2016. Figure 33 : Dépôts de poussières sous forme de petits amas dans les dépressions formées par la feuille de *Codia discolor* en 2020.

# 6.2.2. Symptômes foliaires :

L'évaluation des symptômes foliaires a permis de mettre en évidence quelques chloroses et/ou nécroses foliaires anecdotiques sur moins de 1 % des individus en 2016. Il a été observé une légère augmentation des symptômes foliaires en octobre 2016 avec 5 % d'individus présentant des symptômes (Figure 34) ainsi que la présence de deux individus séchés sur pied de *Gymnostoma deplancheanum et Dacrydium araucarioides* puis en septembre 2017 avec plus de 5 % d'individus présentant des symptômes (Figure 35). On observe une diminution des symptômes à compter de 2018 avec moins de 5 % d'individus présentant des symptômes jusqu'en octobre 2020 (Annexe 1, Annexe 2). Ces derniers sont apparus sous forme de chlorose diffuse et nécroses anecdotiques sur quelques individus éparses. Globalement, les symptômes ont été relevés de manière éparse sur des individus situés en lisière.





Figure 34: Symptômes de chloroses observés sur les vieilles feuilles d'un *Myodocarpus sp.* en lisière en octobre 2016. Figure 35 : Branches séchées de *Solmsia calophylla* en novembre 2017.



#### 6.2.3. Régénération :

Les suivis ont mis en évidence une bonne diversité de plantules au niveau de ce site atteignant plus de 15 % de recouvrement au sol (Figure 36). Le recouvrement des plantules et de juvéniles n'a pas varié entre octobre 2015 et octobre 2020. Un indice de type « modérée » a été définit pour l'état de la régénération au niveau de ce site de suivi.



Figure 36 : Etat de la régénération en 2020

# 6.2.4. Débris ligneux :

En 2016, on evalue à moins de 10 % le recouvrement au sol des debris ligneux. Les debris sont majoritairement constitués de brindilles et de petits branchages de petits diamétres depassant rarement 10 cm. On note une augmentation du recouvrement des débris ligneux en 2017 qui atteint 20% de recouvrement au sol avec une densité de branchages plus abondant au sol (Figure 37) qui se stabilise jusqu'en novembre 2018. On note une diminution atteignant 10% de recouvrement de debris ligneux entre avril 2019 et octobre 2020.



Figure 37 : Illustration des debris ligneux sur le site SM3 essentiellement constitués de petits branchages en ocotbre 2020.

#### 6.2.5. Espèces exogènes :

Des traces de cochons ont été relevées avec un sol retourné par endroit en octobre 2015, mai 2016, mai 2017 et novembre 2017 (Figure 38). La présence de rouille sur *Eugenia stricta, Eugenia hurlimannii* et la présence d'Anoplolepis gracilipes a également été relevé sur le site de suivi. (Figure 38).



Figure 38 : Rouille détectée sur les jeunes feuilles d'Eugenia stricta en octobre 2020.



#### 6.2.6. Coupe de bois :

On note des traces d'anciennes coupes de bois probablement liées à la mise en place d'une ligne tomographique pour les travaux d'exploration minière en amont du point de suivi. Les troncs coupés ne depassent pas 10 cm (Figure 39). Aucune coupe de bois recente n'a été relevée entre octobre 2015 et octobre 2020.



Figure 39: Trace d'une ancienne coupe de bois

#### 6.2.7. Déchets :

Aucun dechet n'a été retrouvé sur ce point de suivi entre octobre 2015 et octobre 2020.

#### 6.2.8. Bruit:

Un bruit de fond correspondant au roulage minier voir des bips de recul bien perceptibles ont été relevés entre octobre 2015 et octobre 2020 conférant un indice de type « Leger » (20 à 40 dB) à « Moyen » (40 à 80 dB) pour ce paramètre.

#### 6.2.9. Etat du cours d'eau :

Les suivis réalisés entre octobre 2015 et octobre 2020 ont mis en évidence un bon débit au niveau du cours d'eau (Figure 41) ainsi qu'une réduction du niveau d'eau en Octobre 2016 et un assèchement total en septembre et novembre 2017 et novembre 2019 durant la saison sèche (Figure 40).





Figure 40 : Cours d'eau en novembre 2017. Figure 41 : Cours d'eau en octobre 2020.

# 6.2.10. Etat de santé de la végétation :

Globalement, la végétation au niveau de ce site de suivi est apparue en bon état de santé entre 2015 et 2016 avec une légère dégradation en octobre 2016 et 2017 se traduisant par une augmentation des symptômes foliaire. On constate une augmentation des débris ligneux et des dépôts de poussières en 2017. L'apparition de symptômes foliaires n'apparait pas liée aux dépôts de poussières, on observe en effet une nette diminution des symptômes foliaires en mai 2018 alors que les dépôts de poussières tendent à se stabiliser jusqu'en 2020 (Annexe 1, Annexe 2).



L'indice d'activité photosynthétique moyen apparait supérieur à 0.805 en 2017 et suggère un bon état de santé de la végétation malgré l'augmentation de symptômes foliaires en septembre 2017 et la présence de dépôts de poussières de type « Moyen » (Figure 42, Annexe 3). Pour chaque période de suivi, l'indice d'activité photosynthétique est apparu supérieur au site témoin (Figure 42). Un indice de type « Bon » a été assigné à ce site entre octobre 2015 et octobre 2020 avec un indice de type « Moyen » en septembre 2017 et novembre 2017 du fait de l'augmentation des symptômes foliaires. Aucune attaque phytosanitaire majeure n'a été constatée durant l'ensemble du suivi entre octobre 2015 et octobre 2020.

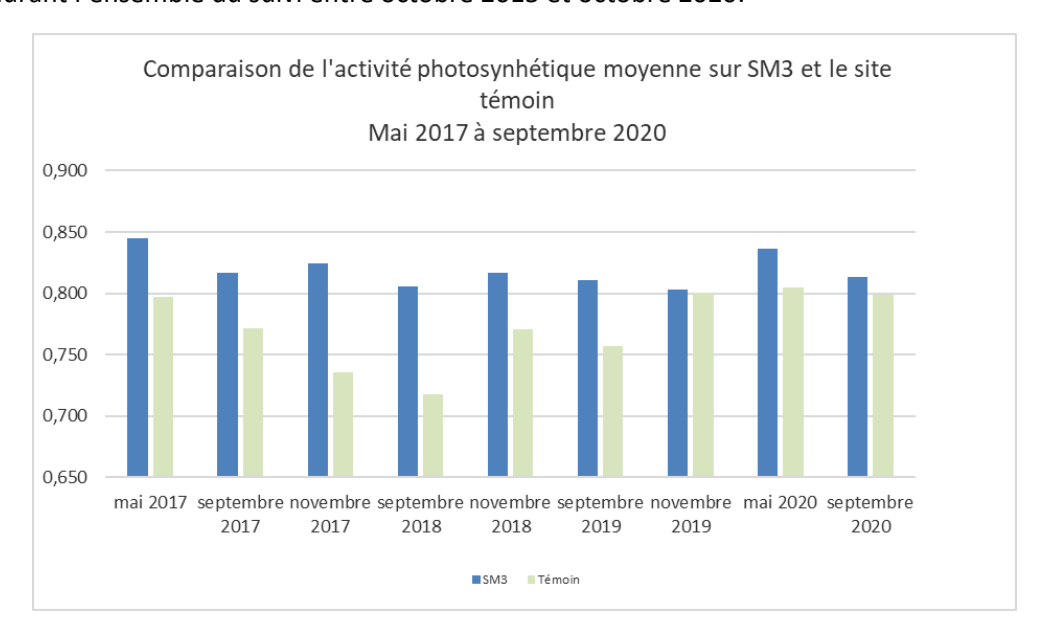


Figure 42 : Evolution de l'indice d'activité photosynthétique moyen de SM3 et du site témoin entre mai 2017 et septembre 2020.

#### 6.3 Site de suivi SM4:

Le site SM4 est situé en lisière de forêt sur le versant nord du cours d'eau (Figure 43, Figure 44).



Figure 43 : Vue d'ensemble de la formation végétale du site SM4 en octobre 2015. Figure 44 : Vue d'ensemble de la formation végétale du site SM4 en octobre 2020.



#### 6.3.1. Poussière:

Les dépôts de poussière sont restés stables depuis le début des suivis (Annexe 1, Annexe 2). Les suivis ont mis en évidence de très légers dépôts de poussière sur moins de 5 % des individus entre octobre 2015 et octobre 2020 (Figure 46, Figure 47). Ces dépôts se présentent sous forme de fines couches à peine visibles essentiellement localisés au niveau des nervures des feuilles de quelques individus en lisière (Figure 46, Figure 47). L'évaluation des dépôts de poussière sur la végétation a permis d'attribuer un indice de type « Léger » à ce site de suivi. Aucun changement significatif des dépôts de poussière n'a été constaté au niveau de cette formation végétale entre 2015 et 2020.



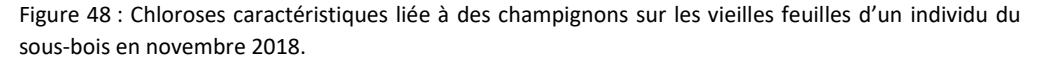




Figure 45 : Vue d'ensemble de la formation végétale du site de suivi SM4 en novembre 2017. Figure 46 : Dépôt de poussière sous forme de fine couche localisée entre les nervures d'une feuille de *Pleioluma azou* en 2016. Figure 47 : Dépôts en très fine couche sur l'apex d'un individu de *Arillastrum gummiferum* en octobre 2020.

#### 6.3.2. Symptômes foliaires :

L'évaluation des symptômes foliaires entre octobre 2015 et octobre 2020 a permis de mettre en évidence quelques légères chloroses et/ou nécroses foliaires anecdotiques sur moins de 1 % des individus (Figure 48). L'état de santé des individus présentant des symptômes ne semble pas impacté.





# 6.3.3. Régénération :

Les suivis ont mis en évidence une bonne diversité de plantules et d'individus juvéniles au niveau de ce site atteignant plus de 30 % de recouvrement au sol (Figure 49). Un indice de type « fort » a été définit pour l'état de la régénération au niveau de ce site de suivi. Le recouvrement des plantules n'a pas varié entre octobre 2015 et octobre 2020.

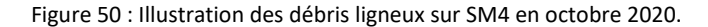


Figure 49: Etat de la régénération pour SM4 en octobre 2020.



# 6.3.4. Débris ligneux :

Entre 2015 et octobre 2016, on evalue à prés de 5 % le recouvrement au sol des debris ligneux. On note une légère augmentation du recouvrement de debris ligneux en mai 2017 avec prés de 10 % de recouvrement jusqu'en 2020. Les debris sont essentiellement constitués de petits branchages et de brindilles (Figure 50).





# 6.3.5. Espèces exogènes :

De la rouille été relevée sur *Eugenia stricta* en septembre 2018, puis entre septembre 2019 et octobre 2020. Seules les jeunes feuilles semblent impactées. Des fèces de chat ont été observées au niveau de la litière en novembre 2018 (Figure 51).

Figure 51: Rouille sur Eugenia stricta



# 6.3.6. Coupe de bois :

On note des traces d'anciennes coupe de bois datant de plusieurs années en amont du point de suivi probablement liées a la mise en place de ligne tomographique pour les travaux d'exploration minière (Figure 52). Les diamétres des troncs coupés varient entre 10 et 40 cm. Aucune coupe de bois recente n'a été relevée entre octobre 2015 et octobre 2020.

Figure 52 : Trace de coupe de bois datant de plusieurs années.



#### 6.3.7. Déchets :

Aucun dechet n'a été retrouvé sur ce point de suivi entre octobre 2015 et octobre 2020.

#### 6.3.8. Bruit:

Seul un bruit de fond plus ou moins perceptible correspondant au roulage minier a été relevé entre octobre 2015 et octobre 2020. Le niveau de « nuisance sonore » a varié entre 20 à 80 db conformément aux niveaux sonores du trafic routier définit par l'Office of Planning, Environnement, & Realty (HEP) du département des transports des états Unis3.

<sup>&</sup>lt;sup>3</sup> https://www.fhwa.dot.gov/environment/noise/construction\_noise/handbook/handbook09.cfm



#### 6.3.9. Etat du cours d'eau

Le niveau du cours d'eau situé en contre-bas du point de suivi a fortement varié entre 2015 et 2020 (Figure 53, Figure 54). Un asséchement total du cours d'eau a été constaté durant les saisons sèche soit en octobre 2015, octobre 2016, septembre-novembre 2017 puis entre septembre 2019 et octobre 2020. En dehors des périodes d'étiage le cours d'eau a présenté un bon débit (Figure 53, Figure 54) à l'exception de novembre 2018 où l'eau est apparue stagnante.





Figure 53: Cours d'eau en mai 2016. Figure 54: Cours d'eau présentant un bon débit en octobre 2020.

# 6.3.10. Etat de santé de la végétation :

Globalement, la végétation au niveau de ce site de suivi est apparue en bon état de santé avec de faible dépôts de poussières et de très légers symptômes foliaires ne concernant qu'un 1% des individus du site de suivi. La seule dégradation relevée est une augmentation des débris ligneux en mai 2017 mais qui ne dépassent pas 10 % de recouvrement. L'indice d'activité photosynthétique moyen Fv/Fm apparait supérieur à 0.764 et supérieur ou équivalent aux valeurs du site témoin entre 2017 et octobre 2020 suggérant une bonne activité photosynthétique de la végétation (Figure 55, Annexe 3). Un indice de type « Bon » a été assigné à ce site entre octobre 2015 et octobre 2020. Aucune attaque phytosanitaire majeure n'a été constatée durant l'ensemble des suivis.

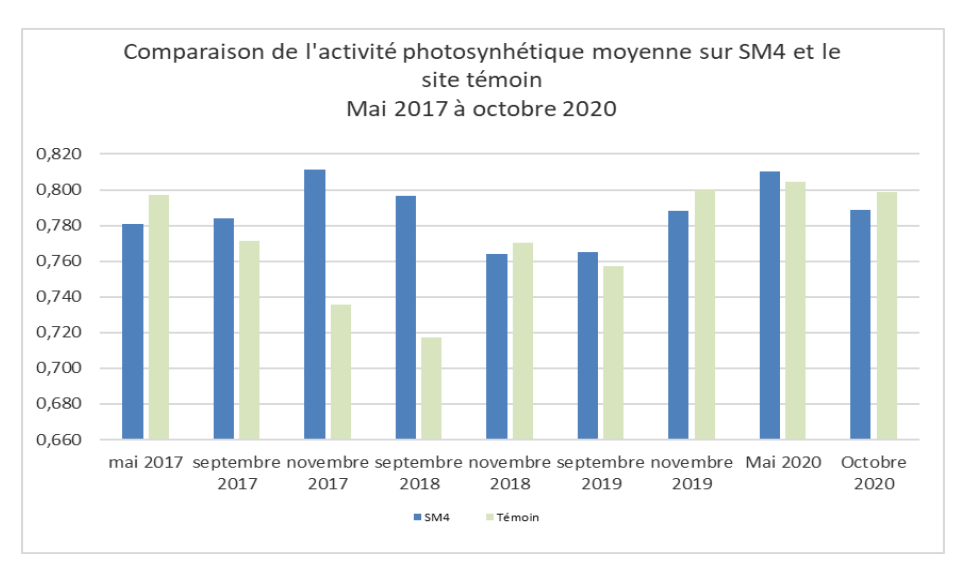


Figure 55 : Evolution de l'indice d'activité photosynthétique moyen de SM4 et du site témoin entre mai 2017 et octobre 2020.



#### 6.4 Site de suivi SM5:

Le site SM5 est situé en lisière de forêt en bordure d'une piste en terre au nord de SMLT.



Figure 56 : Vue d'ensemble de la formation végétale du site SM5 en mai 2016. Figure 57 : Vue d'ensemble de la formation végétale du site SM5 en octobre 2020.

# 6.4.1. Poussière:

Globalement, on note une tendance à la diminution des dépôts de poussière depuis le début des suivis (Annexe 1, Annexe 2). Les suivis de 2015 et 2016 ont mis en évidence des dépôts de poussières sur 40 % des individus (Figure 58). Ces dépôts se présentent sous forme de plaques recouvrant le limbe des feuilles (Figure 58). On constate une diminution des dépôts de poussière en mai 2017 et une stabilisation jusqu'en mai 2020 avec 30 % d'individus présentant des dépôts de poussières sous forme de plaque diffuses ou sous forme de dépôts concentrés sur l'apex et dépressions des feuilles (Figure 59). En octobre 2020, on note une diminution des dépôts de poussières avec moins de 20 % des individus présentant des dépôts (Figure 60).

L'évaluation des dépôts de poussière sur la végétation a ainsi permis d'attribuer un indice de type « Moyen » pour ce paramètre en 2015 et mai 2020 puis un indice de type « léger » en octobre 2020.

Les défrichements associés au projet SMLT réalisés en 2015 et 2016 expliquent les dépôts de poussières plus importants relevés en 2016. La principale activité en 2017 étant le stockage des stériles sur la verse et aucun défrichement n'ayant été réalisé en 2017 et 2020 sur SMLT, on constate une stabilisation des dépôts de poussière entre 2017 et 2020 puis une diminution en octobre 2020 (Figure 12, Figure 59, Figure 60).









Figure 58 : Dépôt de poussière sous forme de plaque sur *Pleioluma azou en* novembre 2016. Figure 59 : Dépôt de poussière sous forme de plaques lessivées sur *Pleioluma azou en* septembre 2018. Figure 60 : Dépôts de poussières persistants sous forme de petites plaques sur *Tristaniopsis guillainii* en lisière en octobre 2020.

# 6.4.2. Symptômes foliaires :

L'évaluation des symptômes foliaires a permis de mettre en évidence une augmentation des symptômes foliaires en octobre 2016 et septembre 2017 puis une stabilisation jusqu'en mai 2020 avec plus de 5 % d'individus présentant des symptômes de chloroses diffuses à ponctuées (Figure 61, Annexe 1, Annexe 2) ou de nécroses foliaires. Quelques individus situés en lisière ont présenté de symptômes plus marqués avec des traces de brulures (*Pleioluma sp.*) ou de dessiccation du feuillage caractéristique d'un stress hydrique en 2017 (Figure 62). On note une diminution des symptômes en octobre 2020 avec moins de 5% des individus présentant des symptômes foliaires (Annexe 1, Annexe 2).





Figure 61 : Chlorose marginale sur *Gardenia Aubryi* en novembre 2017. Figure 62 : Chlorose marginale marquée avec brulure du limbe sur *Tristaniopsis guillainii* en octobre 2020.

# 6.4.3. Régénération :

On relève une bonne diversité de plantules et d'individus juvéniles au niveau de ce site atteignant plus de 15 % de recouvrement au sol (Figure 63, Figure 64). Un indice de type «Modéré » a été définit pour l'état de la régénération au niveau de ce site de suivi avec toutefois une prépondérance de plantules en terme de densité



et diversité en sous-bois (Figure 64). Le recouvrement des plantules n'a pas varié entre octobre 2015 et octobre 2020 (Figure 63, Figure 64).



Figure 63 : Etat de la régénération pour SM5 en lisière en novembre 2017. Figure 64 : Etat de la régénération en août 2020. On note une plus forte densité de plantules en sous-bois.

# 6.4.4. Débris ligneux :

La quantité de debris ligneux au sol n'a pas variée entre octobre 2015 et octobre 2020. On evalue à prés de 10 % le recouvrement au sol de ces debris. Les debris sont essentiellement constitués de petits branchages et de brindilles (Figure 65).



Figure 65 : Illustration des débris ligneux sur SM5.

# 6.4.5. Espèces exogènes :

Des traces de cerf et *Wasmannia araupunctata* ont été détectées en mai 2017. Des traces de fouille de cochon ont été relevées en septembre 2018 et avril 2019. Les suivis ont permis de détecter régulièrement la présence de rouille.

# 6.4.6. Coupe de bois :

Aucune trace de coupe de bois ancienne ou recente n'a été constatée au niveau du point de suivi.



#### 6.4.7. Déchets :

Seules quelques feuilles de journaux ont été récupérées sur ce point de suivi en octobre 2015.

#### 6.4.8. Bruit:

Entre 2015 et 2020, le niveau de « nuisance sonore » a varié entre 40 et plus de 80 dB avec un roulage minier bien perceptible. Les travaux associés au projet SMLT en 2015 et 2016 ainsi que le stockage des stériles sur la verse SMLT expliquent les niveaux sonores relevés (Figure 12).

## 6.4.9. Etat de santé de la végétation :

Un indice de type « Bon » a été assigné à ce site entre octobre 2015 et octobre 2016. On note une dégradation en octobre 2016 et septembre 2017 avec notamment le dessèchement sur pied de quelques individus (*Styphelia sp., Dacrydium araucarioides, Sannantha leratii, Codia sp.*) et l'augmentation des symptômes foliaires. L'augmentation des symptômes foliaires n'apparait pas liée aux dépôts de poussières, on constate une augmentation des symptômes foliaires entre 2016 et 2017 alors que les dépôts de poussières tendent à diminuer sur cette même période (Annexe 1, Annexe 2).

L'indice d'activité photosynthétique moyen Fv/Fm est apparu supérieur à 0.726 durant l'ensemble des suivis. En 2020, les indices d'activités photosynthétiques se sont révélés supérieur ou équivalents aux valeurs du site témoin traduisant une bonne activité photosynthétique de la végétation (Figure 66, Annexe 3).

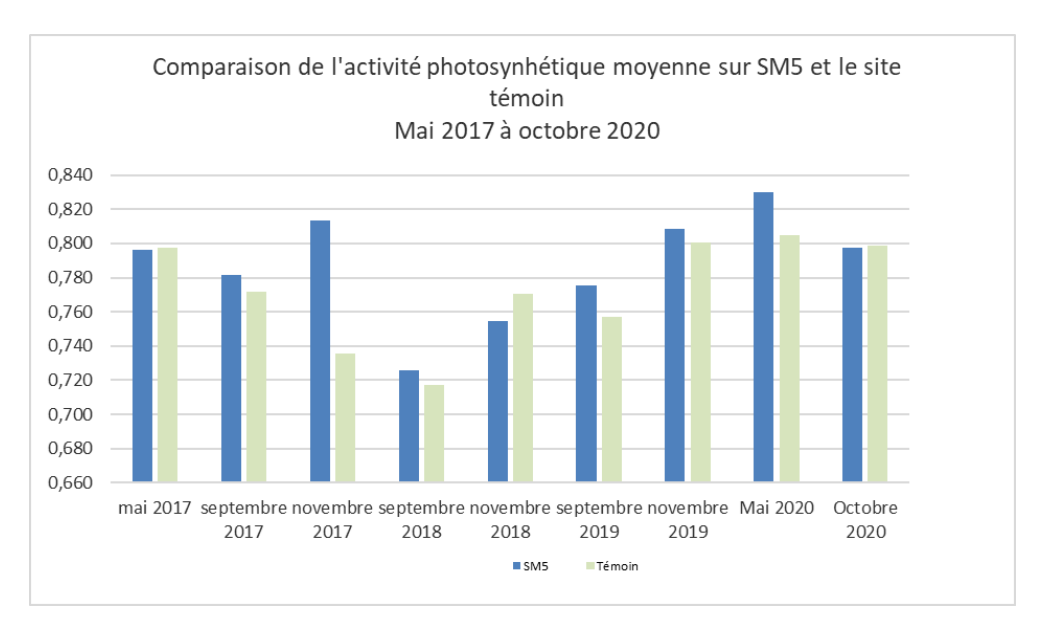


Figure 66 : Evolution de l'indice d'activité photosynhtétique moyen du site SM5 et du site témoin mesuré entre mai 2017 et octobre 2020.



#### 6.5 Site de suivi SM6:

Le site SM6 est situé en forêt en contrebas de la carrière CPKE.





Figure 67 : Vue d'ensemble de la formation végétale du site SM6 en mai 2016. Figure 68: Vue d'ensemble de la formation végétale du site SM6 en septembre 2020.

#### 6.5.1. Poussière:

Globalement, les dépôts de poussières sont restés relativement stable depuis le début des suivis avec une augmentation en 2017 (Annexe 1, Annexe 2). Les suivis de 2015 à mai 2017 ont mis en évidence de légers dépôts de poussière sur moins de 10 % des individus. (Figure 70; Figure 71). On constate une légère augmentation durant la saison sèche de 2017 avec 20 % des individus présentant de la poussière puis une diminution en 2018 probablement liée à la saison des pluies et à la diminution de l'activité minière associée à CPKE en février 2018. Les dépôts de poussières se stabilise par la suite jusqu'en octobre 2020 avec 10% d'individus présentant de la poussière. En octobre 2020, ces dépôts se présentes sous forme de fines couches à peine visibles essentiellement localisés au niveau des nervures des feuilles de quelques individus en lisière voir sous forme de petits amas localisés au niveau de l'apex des feuilles ou de dépression du limbe (Figure 71).

L'évaluation des dépôts de poussière sur la végétation a permis d'attribuer un indice de type « Léger » à la station entre octobre 2015 et mai 2017 ainsi qu'entre mai 2018 et octobre 2020. Un indice de type « Moyen » a été attribué en septembre et novembre 2017 (Figure 12).







Figure 69 : Vue d'ensemble de la lisière de la formation végétale du site de suivi SM6. Figure 70 : Dépôt de poussière sur l'apex des feuilles d'Arillastrum gummiferum en mai 2017. Figure 71 : Dépôts de poussières sur l'apex d'une feuille d'un individu d'Arillastrum gummiferum en octobre 2020.



# 6.5.2. Symptômes foliaires :

L'évaluation des symptômes foliaires entre octobre 2015 et octobre 2016 a permis de mettre en évidence quelques légères chloroses et/ou nécroses foliaires anecdotiques sur moins de 5 % des individus. On note une légère augmentation des symptômes foliaires en mai 2017 puis en mai 2020 avec moins de 10% des individus présentant des symptômes foliaires jusqu'en octobre 2020 (Figure 72, Annexe 1, Annexe 2). La majorité des symptômes ont été relevés sur des individus en lisière.





Figure 72 : Chloroses et plantules séchées sur pied au niveau de la régénération naturelle de SM6 en novembre 2017. Figure 73 : Chlorose marginale sur un individus d'Arillastrum gummiferum en lisière en octobre 2020.

# 6.5.3. Régénération :

Une régénération naturelle qualifiée de « Modérée » et atteignant 10 % de recouvrement au sol a été relevée durant les suivis. (Figure 74). Le recouvrement des plantules n'a pas varié entre octobre 2015 et octobre 2020.

Figure 74 : Etat de la régénération pour SM6. On note une densité « Modérée » de plantules.



# 6.5.4. Débris ligneux :

On note une augmentation de la quantité de debris ligneux au sol qui atteint 10% de recouvrement au sol en mai 2017 et se stabilise jusqu'en octobre 2020. Les debris sont essentiellement constitués de petits branchages et de brindilles (Figure 75).



Figure 75 : Illustration des débris ligneux sur SM6 en octobre 2020.



#### 6.5.5. Espèces exogènes :

Deux espèces de fourmis exogènes ont été recensées au niveau du site de suivi à savoir, *Wasmannia araupunctata* et *Anoplolepis gracilipes*. La rouille a également été observée sur ce point de suivi ainsi que *Polygala panaliculata*, espèce végétale exogène, que l'on retrouve fréquemment sur sol ferralitique.

#### 6.5.6. Coupe de bois :

Des coupes de bois ont été relevées sur la piste menant au point de suivi en octobre 2020. Un individus adulte de *Calophyllum neocaldedonicum* est notamment concerné. Cette coupe de bois s'explique par la possibilité d'accéder au site de suivi par l'intermédiaire de la CR10. Cet incident a été signalé afin de renforcer la surveillance de ce secteur.

#### 6.5.7. Déchets :

Un morceau de plastique et une bouteille plastique ont été retrouvés en mai et octobre 2016 sur ce point de suivi.

#### 6.5.8. Bruit:

Entre 2015 et 2020, le niveau de « nuisance sonore » a varié entre 20 et plus de 80 dB conformément aux niveaux sonores du trafic routier définit par l'Office of Planning, Environment, & R et septembre Healty (HEP) du département des transports des états Unis4 (Figure 12).

# 6.5.9. Etat de santé de la végétation :

La végétation au niveau de ce site de suivi est apparue en bon état de santé. Un indice de type « Bon » a été assigné à ce site entre octobre 2015 et mai 2017. Un indice de type « Moyen » a été assigné à cette formation végétale en septembre et novembre 2017 avec l'augmentation des dépôts de poussières et la présence de symptômes foliaires au niveau de la lisière et d'individus juvéniles séchés sur pieds (Annexe 1, Annexe 2). L'augmentation des symptômes foliaires n'apparait pas liée aux dépôts de poussières l'évolution de ces deux paramètres ne suivant pas les mêmes tendances (Annexe 3). Aucune attaque phytosanitaire majeure n'a été constatée durant l'ensemble du suivi. On note une diminution de l'indice d'activité photosynthétique Fv/Fm entre septembre 2017 et septembre 2018. L'indice d'activité photosynthétique moyen Fv/Fm apparait supérieur à 0.736 suggérant une bonne activité photosynthétique de la végétation malgré l'apparent stress hydrique de la végétation en septembre-novembre 2017 (Figure 76, Annexe 3). En 2020, l'indice d'activité photosynthétique apparait équivalent à l'activité photosynthétique mesurée sur le site de suivi.

<sup>&</sup>lt;sup>4</sup> https://www.fhwa.dot.gov/environment/noise/construction\_noise/handbook/handbook09.cfm



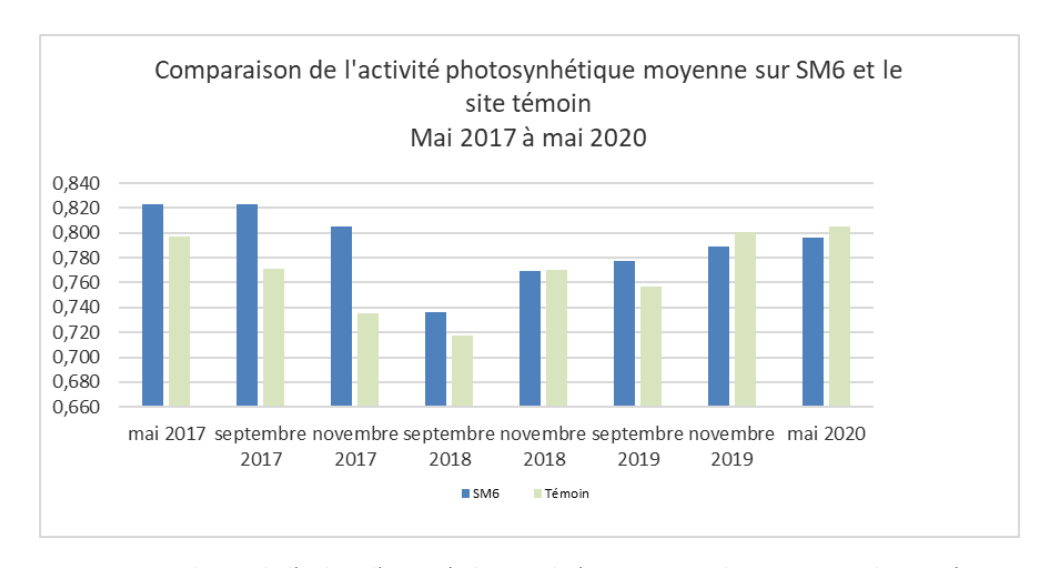


Figure 76 : Evolution de l'indice d'activité photosynhtétique moyen du site SM6 et du site témoin mesuré entre mai 2017 et mai 2020.

#### 6.6 Site de suivi SM7:

Le site SM7 est situé en lisière de la forêt à *Arillastrum gummiferum* sur pente en contrebas de la carrière CPA1 (Figure 77, Figure 78).



Figure 77 : Vue d'ensemble de la formation végétale du site SM7 en mai 2016. Figure 78 : Vue d'ensemble de la formation végétale du site SM7 en octobre 2020.

# 6.6.1. Poussière:

Globalement, on note une tendance à l'augmentation des dépôts de poussière depuis le début des suivis (Annexe 1, Annexe 2). Les suivis réalisés entre 2015 et 2020 ont mis en évidence des dépôts de poussières de type « Moyen ». Les dépôts se présentent sous forme de fine couche voir s'accumulent au niveau de l'apex des feuilles ou dans les dépressions du limbe des feuilles. Quelques individus présentent des dépôts de poussières plus conséquents sous forme de plaque recouvrant une partie du limbe des feuilles (Figure 79, Figure 80, Figure 81). On constate une augmentation du nombre d'individus présentant des dépôts de poussières en mai 2016 puis en septembre 2018. On dénombre ainsi 35 % d'individus avec des dépôts de poussière entre septembre 2018 et Avril 2019 puis une diminution à compter de septembre 2019 avec 30 %



d'individus présentant des dépôts de poussière (Figure 80, Figure 81). Cette augmentation des dépôts de poussières entre 2016 et 2018 est liée à l'activité minière au niveau de la carrière CPA1 surplombant la formation végétale, les défrichements ayant débutés en 2016 (Figure 12). En 2019 et 2020, les surfaces défrichées ont diminué et les travaux apparaissent plus éloignés du site SM7 expliquant ainsi la diminution puis la stabilisation des dépôts de poussière jusqu'en octobre 2020.







Figure 79 : Dépôt de poussière sous forme de plaques en mai 2017. Figure 80 : Augmentation des dépôts de poussière sous forme de plaques en novembre 2018. Figure 81 : Dépôts de poussières sous forme de plaque en partie lessivées en octobre 2020.

## 6.6.2. Symptômes foliaires :

L'évaluation des symptômes foliaires entre octobre 2015 et mai 2017 a permis de mettre en évidence quelques légères chloroses et/ou nécroses foliaires anecdotiques sur moins de 1 % des individus (Figure 82, Figure 83). On constate une très légère augmentation des symptômes foliaires en septembre 2017 avec quelques individus présentant de petites nécroses apicales ou des chloroses diffuses (Figure 82) voir un feuillage flétrie caractéristique d'un stress hydrique puis une stabilisation jusqu'en octobre 2020 (Annexe 1, Annexe 2).





Figure 82 : Chloroses sur les feuilles d'un individu sur SM7. Figure 83 : Chloroses diffuses sur pittosporum sp.

# 6.6.3. Régénération :

Les suivis ont mis en évidence une régénération inférieure à 5 % de recouvrement du fait de l'importance de la strate cypéracéenne. Cette formation présente une strate cypéracéenne atteignant plus de 80 % de recouvrement et ne favorisant pas la germination. Un indice de type « Léger » a été définit pour l'état de la régénération au niveau de ce site de suivi. Aucun changement significatif n'a été constaté entre octobre 2015 et octobre 2020.



# 6.6.4. Débris ligneux :

On constate une augmentation des debris ligneux au sol en mai 2017 avec 5 % puis une augmentation en mai 2018 avec plus de 5% de recouvrement. Le recouvrement en debris ligneux n'a pas varié entre septembre 2018 et octobre 2020. Les debris sont essentiellement constitués de petits branchages et de brindilles (Figure 84).



Figure 84 : Illustration des débris ligneux sur SM7 en octobre 2020.

# 6.6.5. Espèces exogènes :

De la rouille a été détectée sur un individu de *Tristaniopsis glauca* en octobre 2015, septembre 2018 puis en novembre 2019 et mai 2020 à proximité du site de suivi (Figure 85). Des traces de cerfs persistent sur le site de suivi avec une zone où la strate cypéracéenne a été couchée et quelques arbustes présentant des frottis voir des annulations (Figure 86, Figure 87).



Figure 85 : Rouille sur Tristaniopsis glauca. Figure 86 : Trace de cerfs se traduisant par applanissement de la strate cyperacéenne en novembre 2019. Figure 87 : Annelation par des cerfs d'un individus de Planchonela wakere en novembre 2019.

## 6.6.6. Coupe de bois :

Aucune trace de coupe de bois n'a été recensée sur le site de suivi entre 2015 et 2020.

## 6.6.7. Déchets :

Aucun dechet n'a été retrouvé sur ce point de suivi entre 2015 et 2020.



#### 6.6.8. Bruit:

Le niveau de « nuisance sonore » a varié entre 20 et plus de 80 db entre mai 2016 et octobre 2020 du fait de l'activité liée aux défrichements et au roulage minier pour la création de la carrière CPA1. L'activité minière sur SMLT confère également un bruit de fond audible au niveau du site de suivi.

## 6.6.9. Etat de santé de la végétation :

Globalement, la végétation au niveau de ce site de suivi est apparue en bonne état de santé avec une légère augmentation des symptômes foliaires en mai 2017. L'augmentation des symptômes foliaires n'apparait pas liée aux dépôts de poussières, l'évolution de ces deux paramètres ne suivant pas les mêmes tendances (Annexe 1, Annexe 2). On note une diminution de l'indice d'activité photosynthétique Fv/Fm entre mai 2017 et septembre 2018. L'ensemble des strates affichent toutefois des indices d'activité photosynthétique supérieurs à 0.785 suggérant une bonne activité photosynthétique de la végétation et présentent un indice supérieur au site de suivi témoin durant l'ensemble des suivis à l'exception de novembre 2019 (Annexe 3, Figure 88). Aucune attaque phytosanitaire majeure n'a été constatée durant l'ensemble du suivi.

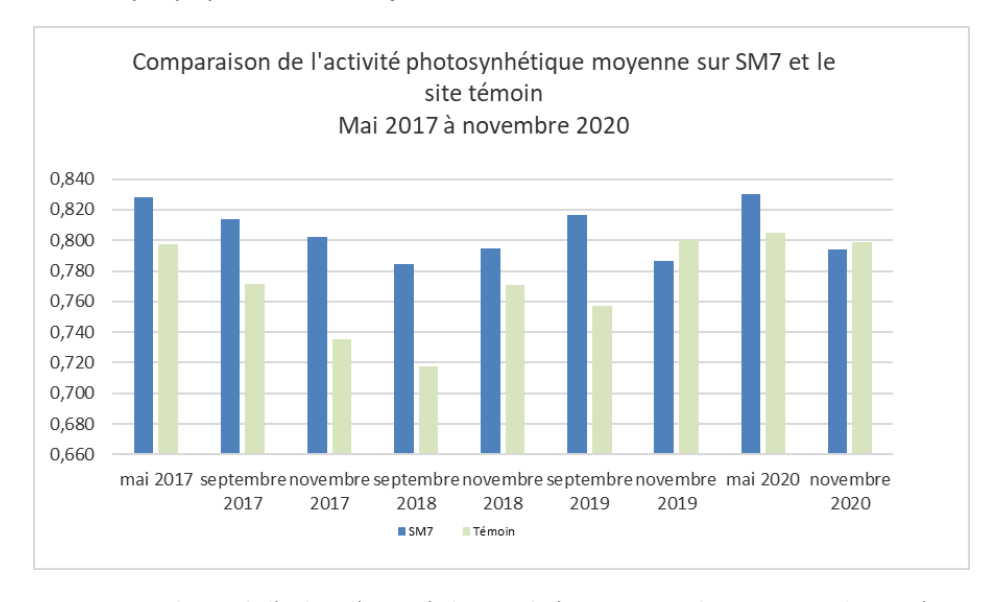


Figure 88 : Evolution de l'indice d'activité photosynhtétique moyen du site SM7 et du site témoin mesuré entre mai 2017 et novembre 2020.



## 6.7 Site de suivi SM8:

Le site SM8 est situé en lisière de la forêt du tuyau en bordure d'une piste en terre.





Figure 89 : Vue d'ensemble de la formation végétale du site SM8 en mai 2016. Figure 90 : Vue d'ensemble de la formation végétale du site SM8 en octobre 2020.

## 6.7.1. Poussière:

Globalement, on note une stabilisation des dépôts de poussière depuis le début des suivis. Les suivis ont mis en évidence des dépôts de poussière sur près de 20 % des individus entre 2015 et 2020 (Annexe 1, Annexe 2). Ces dépôts se présente essentiellement sous forme de petits amas localisés sur l'apex des feuilles (Figure 92) voir sous forme de plaque recouvrant une partie du limbe des feuilles (Figure 93). La majorité des individus présentant des dépôts sous forme de plaque ou de petits amas sont situés en lisière en bordure de piste en terre (Figure 91). L'évaluation des dépôts de poussière sur la végétation a permis d'attribuer un indice de type « Moyen » pour ce paramètre durant l'ensemble des suivis. Aucun changement significatif des dépôts de poussière n'a été constaté au niveau de cette formation végétale entre octobre 2015 et octobre 2020.







Figure 91 : Vue d'ensemble de la formation végétale du site de suivi SM8 en septembre 2020. Figure 92 : Dépôt de poussière sur l'apex de *Codia spatulata* en intérieur en novembre 2019. Figure 93 : Fine couche de poussière persistante sur des mousses à la surface des feuilles de *Codia spatulata* en lisière en octobre 2020.



# 6.7.2. Symptômes foliaires :

L'évaluation des symptômes foliaires entre octobre 2015 et mai 2017 a permis de mettre en évidence quelques légères chloroses et/ou nécroses foliaires anecdotiques essentiellement liées à des attaques phytosanitaires sur 1 % des individus (Figure 94, Annexe 1, Annexe 2). On constate une légère augmentation des symptômes foliaire en septembre puis en novembre 2017 avec près de 5 % d'individus présentant des symptômes puis une stabilisation jusqu'en octobre 2020. Des individus séchés sur pied ont également été relevés en septembre 2017 (*Arillastrum gummiferum, Litsea triflora*) puis en novembre 2017 (*Codia spatulata, Dicarpellum pronyense, Gymnostoma deplancheanum...*) (Figure 95 ; Figure 96).



Figure 94 : Légères chloroses ponctuées sur les vieilles feuilles d'un individu du sous-bois. Figure 95 : *Cryptocaria sp.* séché sur pied en septembre 2020. Figure 96 : Chlorose internervale sur une feuille de *Codia spatulata* en octobre 2020.

# 6.7.3. Régénération :

Les suivis ont mis en évidence une bonne diversité de plantules et d'individus juvéniles au niveau de ce site atteignant plus de 20 % de recouvrement au sol (Figure 97). Un indice de type « fort » a été définit pour l'état de la régénération au niveau de ce site de suivi. Le recouvrement des plantules n'a pas varié entre octobre 2015 et octobre 2020. En lisière, la régénération est essentiellement dominée par *Gymnostoma deplancheanum* (Figure 98).



Figure 97 : Etat de la régénération pour SM8 en octobre 2020. On note une forte densité de plantules. Figure 98 : Régénération dominée par *Gymnostoma deplancheanum* en lisière.



# 6.7.4. Débris ligneux :

La quantité de debris ligneux au sol a augmenté en mai 2017 et est passé de 5% de recouvrement à 10% de recouvrement puis en mai 2018 où elle est passée à 15% de recouvrement au sol. Entre octobre 2015 et octobre 2016 les débris étaient essentiellement constitués de palmes de palmier. En mai 2017, un chablis a été observé sur la station de suivi et une augmentation des feuilles de palmier et branchages de tailles diverses a été constaté (Figure 99, Figure 100).



Figure 99 : Chablis sur SM8 en mai 2017. Figure 100 : Debris ligneux au sol en octobre 2020.

## 6.7.5. Espèces exogènes :

Les suivis ont mis en évidence la présence de rouille, d'Anoplolepis gracilipes et de Wasmannia araupunctata au niveau du site de suivi. En novembre 2019, un individu mort a été relevé suite à son annelation indiquant la présence de cerf.

## 6.7.6. Coupe de bois :

Une ancienne piste forestière est presente à proximité du point de suivi avec des traces d'anciennes coupes de bois. Des troncs en décomposition avancée de 40 cm de diamétre sont observables au niveau de cette vieille piste. Aucune coupe de bois n'a été enregistrée entre octobre 2015 et octobre 2020.

## 6.7.7. Déchets :

Deux surchaussures ont été récupérées en octobre 2015 et une bouteille plastique en novembre 2019.

## 6.7.8. Bruit:

Le niveau de « nuisance sonore » a varié entre 20 et plus de 80 db entre mai 2016 et octobre 2020 du fait de l'activité liée aux défrichements pour la création de la carrière CPA1. L'activité minière sur SMLT confère également un bruit de fond audible au niveau du site de suivi.



# 6.7.9. Etat de santé de la végétation :

La végétation au niveau de ce site de suivi est apparue en bon état de santé. L'augmentation des symptômes foliaires n'apparait pas liée aux dépôts de poussières, l'évolution de ces deux paramètres ne suivant pas les mêmes tendances (Annexe 1, Annexe 2). Aucune attaque phytosanitaire majeure n'a été constatée durant l'ensemble du suivi. L'indice d'activité photosynthétique moyen Fv/Fm apparait supérieur à 0.722 durant l'ensemble des suivis suggérant une bonne activité photosynthétique de la végétation malgré l'augmentation des symptômes foliaires en septembre et novembre 2017 (Figure 101, Annexe 3).

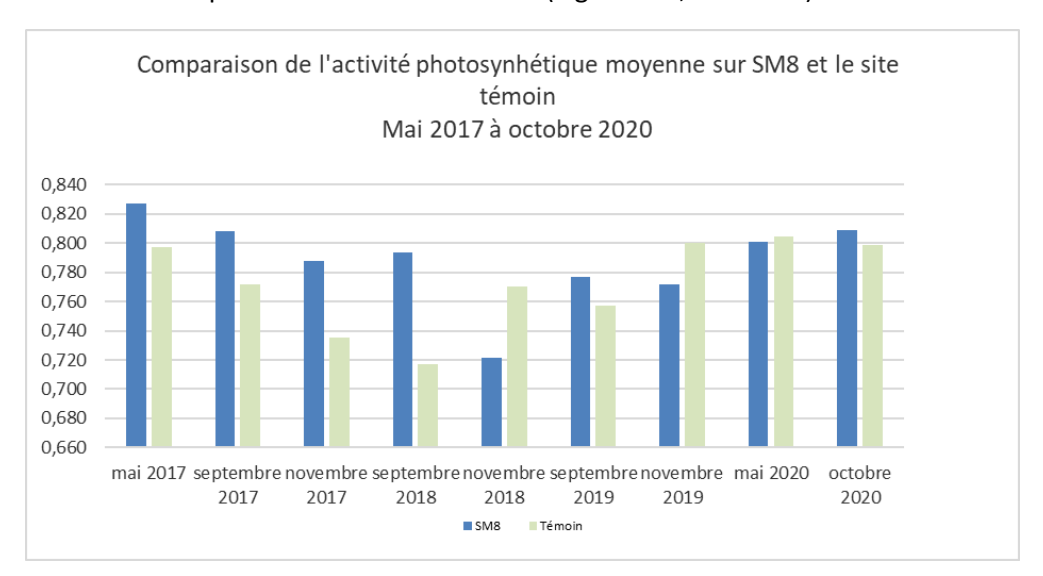


Figure 101 : Evolution de l'indice d'activité photosynhtétique moyen du site SM8 et du site témoin mesuré entre mai 2017 et octobre 2020.

## 6.8 Site de suivi SM9:

Le site SM9 correspond au site témoin. Il est situé dans la réserve de pic du Grand Kaori en lisière de forêt en bordure d'un terreplein.





Figure 102 : Vue d'ensemble de la formation végétale du site SM9 en mai 2017. Figure 103 : Vue d'ensemble de la formation végétale du site SM9 en octobre 2020.



#### 6.8.1. Poussière:

On note une stabilisation des dépôts de poussière depuis le début des suivis. Les suivis ont mis en évidence de très légers dépôts de poussière sur moins de 5 % des individus entre 2015 et octobre 2020. Ces dépôts se présentent sous forme de fines couches à peine visibles essentiellement localisés au niveau des nervures des feuilles de quelques individus en lisière et en sous-bois (Figure 104). L'évaluation des dépôts de poussière sur la végétation a permis d'attribuer un indice de type « Léger » pour ce paramètre durant l'ensemble des suivis (Annexe 1, Annexe 2).



Figure 104 : Dépôts de poussières entre les nervures d'une feuille de Codia jaffrei en octobre 2020.

## 6.8.2. Symptômes foliaires :

L'évaluation des symptômes foliaires a permis de mettre en évidence quelques légères chloroses et/ou nécroses foliaires anecdotiques sur moins de 1 % des individus en mai et septembre 2017 (Figure 106). On constate une augmentation des symptômes foliaires (Figure 107) et la présence d'individus séchés sur pied en novembre 2017 (Figure 105) puis en septembre et novembre 2018 avec plus de 5 % d'individus présentant des symptômes foliaires de chloroses/nécroses. On note une stabilisation entre avril 2019 et octobre 2020 avec 5% des individus présentant des symptômes de chloroses/nécroses (Annexe 1, Annexe 2).







Figure 105 : Individus d'*Hibbertia pancheri* séché sur pied en novembre 2017. Figure 106 : Chlorose internervale sur *Codia jaffrei*. Figure 107 : Individu de chêne gomme en lisière présentant de vieilles feuilles chlorosées et nécrosées en octobre 2020.



# 6.8.3. Régénération :

Les suivis ont mis en évidence une régénération naturelle atteignant près de 5 % de recouvrement. Ce faible recouvrement peut être relié à l'importance de la strate cypéracéenne limitant les germinations (Figure 108). Un indice de type « Léger » a été définit pour l'état de la régénération au niveau de ce site de suivi (Figure 109). Aucun changement significatif n'a été constaté entre mai et octobre 2020.





Figure 108 : Strate cypéracéenne développée au niveau de la lisière de SM9. Figure 109 : Quadrat d'évaluation de la régénération en octobre 2020.

# 6.8.4. Débris ligneux :

On note une augmentation de la quantité de debris ligneux au sol à compter de mai 2018. On evalue à plus de 5 % le recouvrement au sol de ces debris fin 2020. Les debris sont essentiellement constitués de petits branchages et de brindilles (Figure 110).



Figure 110 : Illustration des débris ligneux sur SM9 en septembre 2020.

## 6.8.5. Espèces exogènes :

Des fouilles de cochons ont été relevées régulièrement au niveau de ce site de suivi (Figure 111). De la rouille a été relevée sur *Eugenia stricta* en septembre 2017, 2018 ainsi qu'en novembre 2019 et mai 2020 (Figure 113). Un ancien dépôt de caillasse est à l'origine du développement d'un cortège de graminées et de légumineuses sur le terreplein devant le site de suivi (Figure 112).







Figure 111 : Fouille de cochons en novembre 2019. Figure 112 : Emergence de graminées au niveau d'un dépôt de caillasse. Figure 113 : Rouille sur *Eugenia stricta*.



## 6.8.6. Coupe de bois :

Aucune coupe de bois recente n'a été relevée entre mai et octobre 2020.

#### 6.8.7. Déchets :

Un bout de bache, une bouteille en verre et des débris de carrelage ont été récupérés sur le terreplein devant le site de suivi et septembre 2017 ainsi qu'une bouteille en plastique en novembre 2018 et septembre 2019.

#### 6.8.8. Bruit:

Seul un bruit de fond correspondant au passage de véhicule sur la route menant à l'Usine a été relevé entre mai 2017 et octobre 2020. Le niveau de « nuisance sonore » n'a pas dépassé 20 à 40 db conformément aux niveaux sonores du trafic routier définit par l'Office of Planning, Environment, & Realty (HEP) du département des transports des états Unis5.

## 6.8.9. Etat de santé de la végétation :

Globalement, la végétation au niveau de ce site de suivi est apparue en bonne état de santé avec une dégradation en novembre 2017 et septembre-novembre 2018 se traduisant par une augmentation des symptômes foliaires. Quelques individus séchés sur pieds ont été recensés fin 2017. L'augmentation des symptômes foliaires n'apparait pas liée aux dépôts de poussières, l'évolution de ces deux paramètres ne suivant pas les mêmes tendances (Annexe 1, Annexe 2). L'indice d'activité photosynthétique moyen Fv/Fm apparait supérieur à 0.717 entre 2017 et 2020 suggérant une bonne activité photosynthétique de la végétation malgré la présence d'individus séchés sur pied relevés en septembre 2017 et la diminution de l'activité photosynthétique entre mai 2017 et septembre 2018 (Annexe 3).

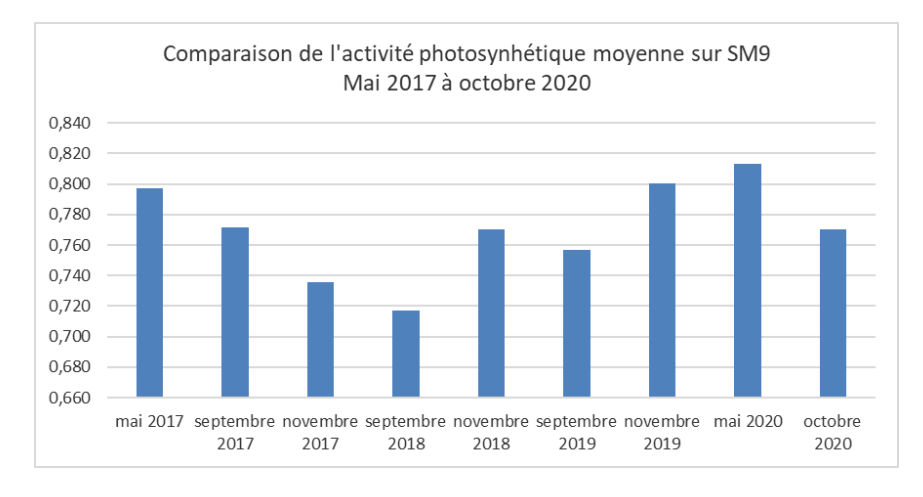


Figure 114: Evolution de l'indice d'activité photosynhtétique moyen du site témoin mesuré entre mai 2017 et octobre 2020.

<sup>&</sup>lt;sup>5</sup> https://www.fhwa.dot.gov/environment/noise/construction\_noise/handbook/handbook09.cfm



# 7. Suivi VEGUSINE : Suivi de l'évolution de l'état de la végétation par télédétection

En 2016, VALE NC a mandaté Bluecham pour la mise en place d'un protocole de suivi de l'évolution de la végétation par imagerie satellitaire autour de la mine. Cette surveillance doit permettre de détecter précocement d'éventuelles dégradations de l'état de santé de la végétation par rapport aux images satellite de 2011. Sept massifs forestiers ont ainsi été sélectionnés à proximité d'ouvrages miniers pour ce suivi ainsi que deux massifs témoins hors influence de l'activité minière (Figure 115).



Figure 115 : Massifs forestiers d'intérêt prioritaire suivi par télédétection.

# 7.1 Méthodologie

Le processus de suivi de l'évolution de l'état de la végétation est réalisé à partir d'une combinaison d'indices satellitaires permettant de :

- Suivre l'activité photosynthétique de la végétation
- Suivre la structure de la canopée et le couvert de feuilles
- Suivre le stress hydrique de la végétation (fraction de la végétation)

Les indices requis en entrée sont des indices scientifiquement validés et approuvés depuis de nombreuses années dans le suivi de la végétation en milieu tropical. Ces paramètres présentent des variations complémentaires pour la caractérisation de l'état de la végétation permettant une intégration pertinente au sein de l'indicateur ISEV.

Le suivi global est réalisé à l'aide de l'indicateur ISEV. A partir des changements mesurés entre deux dates données pour chaque paramètre caractérisant la végétation, l'indicateur synthétique de l'évolution de la végétation ISEV permet de mettre en évidence 3 états de la végétation :



- Les valeurs centrées autour de 0 correspondent à des zones sans ou à très faible changements ;
- Les valeurs tendant vers + 1 indiquent des changements positifs de l'activité de la végétation (1 = apparition de la végétation) ;
- Les valeurs tendant vers -1 indiquent des changements négatifs de l'activité de la végétation (-1 = mort ou disparition de la végétation).

## 7.2 Résultats

Les résultats issus de l'étude VEGUSINE indiquent que les surfaces non impactées des massifs forestiers d'intérêt prioritaire situés à proximité de projet minier apparaissent largement supérieures aux surfaces impactées en juillet 2020 (Bluecham, 2021). Les surfaces impactées représentent alors 2.85 % de la surface totale des massifs forestiers hors massifs témoins (Figure 116, Figure 118). Les surfaces impactées varient entre 1.2 % et 10.2 % selon les massifs concernés (Figure 118).

Il n'y a pas d'évolution notable des impacts observée sur la période 2011 - 2017. A partir de 2017, les impacts augmentent très légèrement. Cette augmentation continue en 2019 et se stabilise en 2020 et les forêts de référence présentent à partir de 2019 un faible pourcentage (< à 10%) de zone impactée tendant à indiquer un impact global à tous les massifs. La situation de sécheresse constatée en 2017 et très marquée sur la zone est à prendre en considération dans l'interprétation de ces tendances. Les indicateurs satellitaires ont en effet tous marqués la période de sécheresse du second semestre 2017 avec une diminution de l'EVI (stress de la végétation) ; du NDVI (activité photosynthétique), du Fr (fermeture de la canopée) et du GRVI (jaunissement de la végétation) (Figure 117). Deux pics de stress de la végétation (EVI) et de baisse d'activité photosynthétique (NDVI) des massifs forestiers situés autour de la mine sont observés en juillet 2019 et juillet 2020 au niveau des massifs forestiers situés autour de l'usine tendant à indiquer que ce phénomène est global.

Sur la période 2020, la tendance est globalement à la stabilité. Les massifs FKE, FT sont stable depuis 2019. FCPA1 et FCPKE présente toujours une très légère augmentation des impacts. FSMLT présente en 2020 une très légère tendance à l'amélioration.

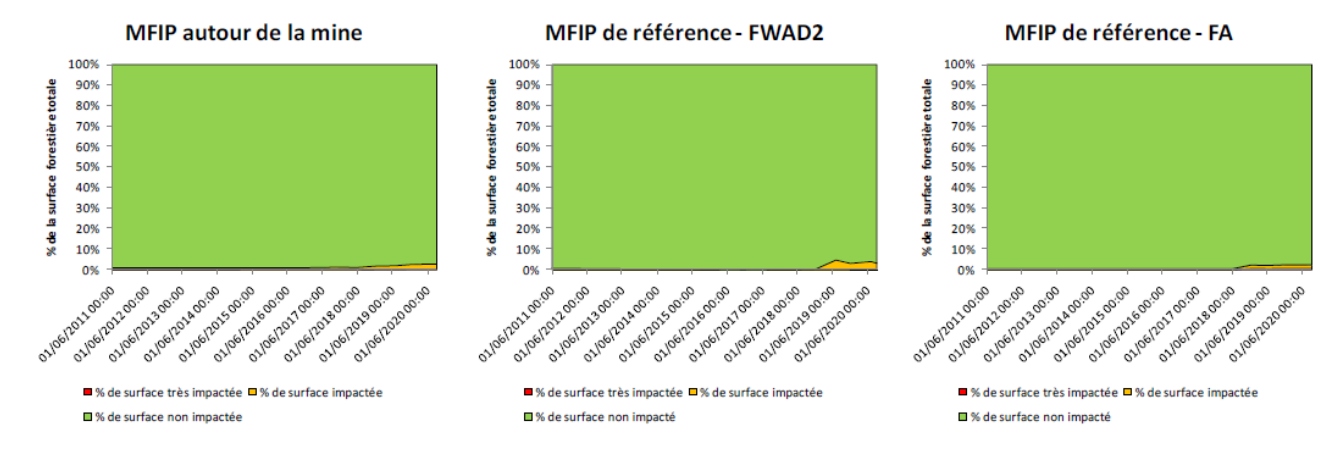


Figure 116 : Evolution des surfaces non impactées, impactées et très impactées entre 2011 et septembre 2020 au niveau des massifs forestiers situés à proximité de la mine et des massifs forestiers témoins.



# Indicateurs satellitaires moyens

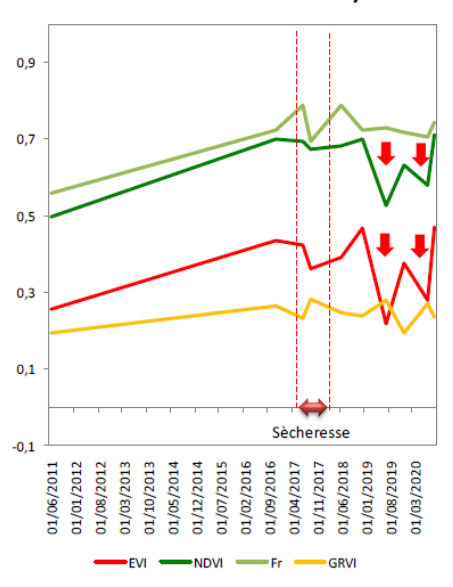


Figure 117 : Indicateurs satellitaires (NDVI, EVI, GRVI et Fr) sur la période considérée.

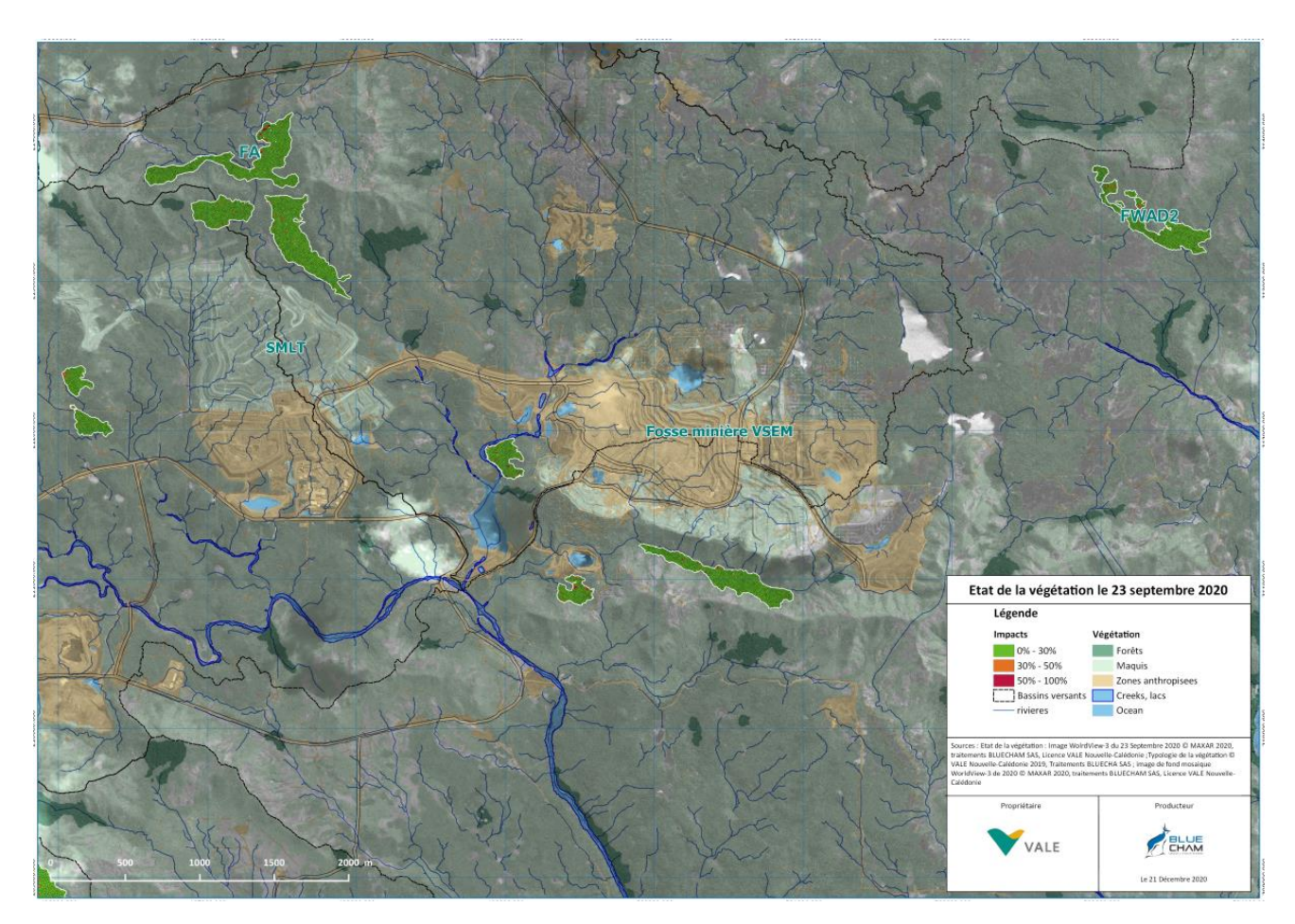


Figure 118 : Etat de la végétation en septembre 2020.



## 8. Conclusion

Les résultats liés à l'évaluation des différents paramètres de suivi entre octobre 2015 et octobre 2020 sont présentés en ANNEXE 1. Globalement, l'ensemble des habitats forestiers et paraforestiers situés à proximité de projets miniers sont apparus en bon état de santé avec une dégradation durant les saisons sèches de 2016 et 2017.

Une légère augmentation des symptômes foliaires et la présence de quelques individus séchés ou présentant des branchages séchés a été relevée en octobre 2016 sur les sites SM1 et SM5 et sur la majorité des sites en septembre et novembre 2017. Globalement, on note une stabilisation du nombre d'individus avec symptômes foliaires sur la majorité des sites de suivi à compter de 2018. Le site de suivi ayant présenté le plus de symptômes foliaires de chloroses et/ou de nécroses est le site SM1 avec près de 10 % des individus présentant des symptômes en novembre 2017.

Le suivi de l'état de santé des massifs forestiers autour de la mine par télédétection conforte ces résultats et montre également une tendance à l'augmentation des surfaces impactées à compter de juillet 2017 puis une stabilisation en 2020. Cette tendance se retrouve également au niveau des massifs forestiers témoins tendant à indiquer un impact global à tous les massifs. La situation de sécheresse constatée en 2017 est à prendre en considération dans l'interprétation de ces tendances. Entre mai et novembre 2017, la Nouvelle-Calédonie a en effet connu un épisode de sécheresse intense (Météo France, 2018). Les indicateurs satellitaires utilisés pour le suivi de l'état de santé de la végétation par télédétection ont également tous marqués la période de sécheresse du second semestre 2017 avec une diminution de l'EVI (stress de la végétation) ; du NDVI (activité photosynthétique), du Fr (fermeture de la canopée) et du GRVI (jaunissement de la végétation). Il a en effet été constaté plusieurs zones de dépérissement ou d'assèchement de la végétation dans le Grand Sud hors zone d'influence de la mine durant cette même période. Quelques individus morts sur pied à proximité des sites de suivi sont par ailleurs encore observables en 2020 témoignant de ces périodes de déficit hydrique. Sur la période 2020, le suivi par télédétection montre que la tendance est globalement à la stabilité. Les massifs FKE et FT apparaissent stables depuis 2019. Ces résultats confortent les relevés des symptômes foliaires réalisés sur le terrain au niveau des sites SM1, SM3 et SM4 situé au sein du massif FKE et SM8 situé au sein de du massif FT. Les massifs FCPA1 et FCPKE présente toujours une très légère augmentation des impacts. Le suivi des symptômes foliaires réalisés sur SM6 au niveau de FCPKE conforte ces résultats avec une augmentation des symptômes en mai 2020. Le massif FSMLT présente en 2020 une très légère tendance à l'amélioration a l'instar des observations faites sur SM5 au niveau de FSMLT qui montre une diminution du nombre d'individus avec symptômes foliaires en mai 2020.

Aucun dépôt de poussière de type « Fort » n'a été relevé sur l'ensemble des sites de suivi. Le site ayant présenté les dépôts de poussière les plus importants liés à l'activité minière est le site SM5 situé au Nord de SMLT avec près de 40% d'individus ayant présenté des dépôts de poussière entre octobre 2015 et octobre 2016. On note une diminution des dépôts de poussières à compter de mai 2017 durant la saison des pluies au niveau de ce site jusqu'à atteindre moins de 20% d'individus avec des dépôts de poussières en octobre 2020. Une augmentation des dépôts de poussière liée à l'activité minière au sud de la fosse minière a été constaté en mai 2017 au niveau du site de suivi SM3, le plus proche de la fosse. Ces dépôts n'ont pas dépassé 20 % d'individus. Une augmentation des dépôts de poussières a également été constatée au niveau du site SM7 situé à proximité de CPA1 entre 2016 et avril 2019 puis ont diminués et ce sont stabilisés à 30 % d'individus en 2020. Les dépôts de poussière au niveau de SM4, SM8 et SM9 sont quant à eux restés stable durant l'ensemble des suivis.

Dans l'ensemble, on constate une augmentation des dépôts de poussière selon l'activité minière à proximité (augmentation des surfaces défrichées et roulage minier) en lisière ou au niveau des zones ouvertes des sites de suivi (ancien layon...) puis une diminution des dépôts par lessivage par les pluies dès que l'activité minière s'atténue. Les dépôts en grande partie lessivés peuvent persister sur les feuilles du bas de la végétation sous forme de petites plaques ou de dépôts localisés en apex des feuilles.



L'augmentation des symptômes foliaires n'apparait pas liée aux dépôts de poussières, l'évolution de ces deux paramètres ne suivant pas les mêmes tendances sur l'ensemble des sites de suivi.

Malgré l'augmentation des symptômes foliaires et des dépôts de poussière sur certains sites au cours de la période de suivi, l'activité photosynthétique moyenne par site et par campagne de suivi a varié entre 0.717 et 0.844 entre 2017 et 2020 suggérant un bon état de santé de l'ensemble des sites de suivi. La valeur d'activité photosynthétique moyenne la plus basse a par ailleurs été enregistrée au niveau du site témoin de Pic du Grand Kaori durant la campagne de suivi de septembre 2018. On note une bonne régénération naturelle au niveau des formations végétales et de nombreuses espèces ont pu renouveler leur feuillage et assurer leur floraison et fructification entre octobre 2015 et octobre 2020. Seul SM7 a présenté une régénération, qualifiée de légère, s'expliquant par l'habitat en lui-même avec une strate cypéracéenne particulièrement développée limitant ainsi la germination. Aucune attaque phytosanitaire ou impacts anthropiques majeurs (coupe de bois, déchet) n'ont été constatés sur l'ensemble des sites durant la période de suivi.

Une augmentation du recouvrement au sol des débris ligneux a été constatée en mai 2017 puis en mai 2018 sur la majorité des sites de suivis. Cette augmentation s'explique par les phénomènes qui ont occasionnés des vents forts en 2017 et 2018, à savoir : la dépression tropicale faible du 9 février 2017 et le cyclone COOK du 10 avril 2017, la dépression tropicale modérée FEHI entre le 28 et le 29 janvier, puis le cyclone tropical HOLA du 8 au 10 mars.



# 9. BIBLIOGRAPHIE

Krause, G. H & Weis E., 1991. Chlorophyll fluorescence and photosynthesis: the basics. Annual review plant physiol. & mol. biol. 42: 313-349.

Jaffré T., Dagostini G., Rigault F., 2003b. Inventaire floristique des unités de végétation de la zone d'implantation des infrastructures minières et industrielles de Goro-Nickel. Rapport de synthèse. Consultance pour Goro Nickel. 34 p. + annexe + cartes.

Grantz D.A., Garner J.H.B., Johnson D.W., 2003. Ecological effects of particulate matter. Environment International, 29, 213-219.

Ukpaka P. C., Eluozo S. N., Orji, C.U., 2011. Impact of road construction dust on plantain vegetation in port harcourt rivers state Nigeria. International journal of current research Vol. 3 (10), 092-098.

Leghari S.K., Zaid M.A., Sarangzai A.M., Faheem M., Shawani G.R., Ali W., 2013. Effect of road side dust pollution on the growth and total chlorophyll content in Vitis vinifera L. (grape). African journal of biotechnology, vol 13(11), 1237-1242.

A2EP, ERBIO, Soreco NC, 2015. Etude de l'impact du débit sur la flore et la faune aquatique. Rapport final Vale Nouvelle Calédonie, 294 pages.

Pichhode M. & Nikhil K., 2015. Effect of copper mining dust on the soil and vegetation in india: A critical review. International Journal of Modern Sciences and Engineering Technology (IJMSET) ISSN 2349-3755, Volume 2, Issue 2, pp.73-76.

Bordez L.; Zongo C., 2016. Etude d'impact potentiel des émissions de poussières sur la végétation environnante du site minier de VALE NC, Zone SMLT.

Kuppers, M., Timm, H., Stegemann, J., Stober, R., Paliwal, K., Karunaichamy, K. S. T. K. & Ortiz, R. 1996. Effects of light environment and successional status on sunfleck use by understorey trees of temperate and tropical forests. Tree physiology 16: 69-80.

Rapport d'activités 2017, Meteo France.

BLUECHAM, 2021. Etat actuel du suivi – Décembre 2020.



# 10. ANNEXE 1 : Résultats du suivi de la végétation à proximité d'ouvrages miniers (Octobre 2015 à octobre 2020)

Site	Paramétre	T0 - Octobre 2015	T1 - Mai 2016	T2 - Octobre 2016	T3- Mai 2017	T4- septembre 2017	T5 - novembre 2017	T6-Mai 2018	T7-Septembre 2018	T8-Novembre 2018	T9-Avril 2019	T10 -Septembre 2019	T11-Novembre 2019	T12-Mai 2020	T13-Octobre 2020
	Etat de santé	Bon	Bon	Moyen	Bon	Bon	Moyen	Bon	Bon	Bon	Bon	Bon	Bon	Bon	Bon
	Régénération	Modérée - 10 %	Modérée - 10 %	Modérée - 10 %	Modérée - 10 %	Modérée - 10 %	Modérée - 10 %	Modérée - 10 %	Modérée - 10 %	Modérée - 10 %	Modérée - 10 %	Modérée - 10 %	Modérée - 10 %	Modérée - 10 %	Modérée - 10 %
	Poussiére	Moyen (20%)	Moyen (20%)	Moyen (20%)	Leger (<20%)	Leger (<20%)	Leger (<20%)	Leger (10%)	Leger (10%)	Leger (10%)	Leger (15%)	Leger (15%)	Leger (15%)	Leger (15%)	Leger (15%)
	Symptomes foliaires	Leger (<5%)	Leger (<5%)	Moyen (10 %)	Leger (<5%)	Leger (<5%)	Moyen (<10%)	Leger (<5%)	Leger(<5%)	Leger(<5%)	Leger(<5%)	Leger(<5%)	Leger(<5%)	Leger(<5%)	Leger(<5%)
SM1	Debris ligneux (%)	10%	10%	10%	>10%	>10%	>10%	>10%	>10%	>10%	>10%	>10%	>10%	>10%	>10%
SIVII	Coupe de bois	Vieille ligne tomographique	Vieille ligne tomographiqu	Vieille ligne tomographique	Vieille ligne tomographiqu	Vieille ligne tomographique	Vieille ligne tomographique	Vieille ligne tomographique	Vieille ligne tomographique						
	Dechet	NON	NON	1 tuteur de ligne tomo	NON	NON	NON	NON	NON	NON	NON	NON	NON	NON	NON
	Exogéne (Indice BB)	RAS	RAS	Rouille	NON	Rouille	Rouille	RAS	Rouille	Rouille	RAS	Rouille	Rouille	Rouille	Rouille
	Etat du cours d'eau	Débordement	Débordement	A sec	Normal	Sec	Sec	Normal	Normal	Normal	Normal	Sec	Sec	Normal	Normal
	Bruit	Leger - 20-40 dB	Leger - 20-40 dB	Leger - 20-40 dB	Leger - 20-40 dB	Leger - 20-40 dB	Leger - 20-40 dB	Leger - 20-40 dB	Leger - 20-40 dB	Leger - 20-40 dB	Leger - 20-40 dB	Leger - 20-40 dB	Leger - 20-40 dB	Leger - 20-40 dB	Leger - 20-40 dB
Site	Paramétre	T0 - Octobre 2015	T1 - Mai 2016	T2 - Octobre 2016	T3- Mai 2017	T4- septembre 2017	T5 - novembre 2017	T6-Mai 2018	T7-Septembre 2018	T8-Novembre 2018	T9-Avril 2019	T10 -Septembre 2019	T11-Novembre 2019	T12-Mai 2020	T13-Octobre 2020
	Etat de santé	Bon	Bon	Bon	Bon	Moyen	Moyen	Bon	Bon	Bon	Bon	Bon	Bon	Bon	Bon
	Régénération	Modérée - 15 %	Modérée - 15 %	Modérée - 15 %	Modérée - 15 %	Modérée - 15 %	Modérée - 15 %	Modérée - 15 %	Modérée - 15 %	Modérée - 15 %	Modérée - 15 %	Modérée - 15 %	Modérée - 15 %	Modérée - 15 %	Modérée - 15 %
	Poussiére	Leger (10%)	Leger (10%)	Leger (10%)	Moyen (20%)	Moyen (20%)	Moyen (20%)	Moyen (20%)	Moyen (20%)	Moyen (20%)					
	Symptomes foliaires	Leger (1%)	Leger (1%)	Leger (5%)	Leger (5%)	Leger (>5%)	Léger (>5%)	Leger (<5%)	Leger (<5%)	Leger (<5%)	Leger(<5%)	Leger(<5%)	Leger(<5%)	Leger(<5%)	Leger(<5%)
	Debris ligneux (%)	<10%	<10%	<10%	20%	20%	20%	20%	20%	20%	10	10	10	10	10
SM3	Coupe de bois	RAS	RAS	RAS	RAS	RAS	RAS	RAS	RAS	RAS	RAS	RAS	RAS	RAS	RAS
	Dechet	NON	NON	NON	RAS	RAS	RAS	RAS	RAS	RAS	RAS	RAS	RAS	RAS	RAS
	Exogéne (Indice BB)	Cochon et rouille (+)	Cochon et Rouille (+)	Anopiolepis gracilis et	Rouille et cochon	Rouille	Rouille et Anoplolepis	RAS	Rouille et Anoplolepis	RAS	Rouille	Rouille	Rouille	Rouille	RAS

	bruit	Leger - 20-40 dB	Leger - 20-40 ub	Leger - 20-40 dB	Leger - 20-40 dB	IVIOYEII - 40 a doub	Woyell - 40 a boub	IVIOYETT - 40 8 000D	Leger - 20-40 dB	IVIOYETT - 40 a doub	Leger - 20-40 dB	Legel - 20-40 db	Leger - 20-40 db	Leger - 20-40 dB	Leger - 20-40 db
ite	Paramétre	T0 - Octobre 2015	T1 - Mai 2016	T2 - Octobre 2016	T3- Mai 2017	T4- septembre 2017	T5 - novembre 2017	T6-Mai 2018	T7-Septembre 2018	T8-Novembre 2018	T9-Avril 2019	T10 -Septembre 2019	T11-Novembre 2019	T12-Mai 2020	T13-Octobre 2020
	Etat de santé	Bon	Bon	Bon	Bon	Bon	Bon	Bon	Bon	Bon	Bon	Bon	Bon	Bon	Bon
	Régénération	Forte - 30 %	Forte - 30 %	Forte - 30 %	Forte - 30 %	Forte - 30 %	Forte - 30 %	Forte - 30 %	Forte - 30 %	Forte - 30 %	Forte - 30 %	Forte - 30 %	Forte - 30 %	Forte - 30 %	Forte - 30 %
	Poussiére	Leger (<5%)	Leger (<5%)	Leger (<5%)	Leger (<5%)	Leger (<5%)	Leger (<5%)	Leger (<5%)	Leger (<5%)	Leger (<5%)	Leger (<5%)	Leger (<5%)	Leger (<5%)	Leger (<5%)	Leger (<5%)
	Symptomes foliaires	Leger (1%)	Leger (1%)	Leger (1%)	Leger (1%)	Leger (1%)	Leger (1%)	Leger (1%)	Leger (1%)	Leger (1%)	Leger (1%)	Leger (1%)	Leger (1%)	Leger (1%)	Leger (1%)
	Debris ligneux (%)	<5%	<5%	<5%	<10%	<10%	<10%	<10%	<10%	<10%	<10%	<10%	<10%	<15%	<15%
IV14	Coupe de bois	RAS	RAS	RAS	Ras		Ras	Ras	Ras	Ras	Ras	Ras	Ras	Ras	Ras
	Dechet	NON	NON	NON	Ras	Ras	Ras	Ras	Ras	Ras	Ras	Ras	Ras	Ras	Ras
	Exogéne (Indice BB)	RAS	RAS	RAS	Ras	Ras	Ras	Ras	Rouille	Feces de chat	RAS	Rouille	Rouille	Rouille	Rouille
	Etat du cours d'eau	Asec	Normal	Asec	Normal	A Ser	A Sec	Normal	Normal	Stagnante	Normal	Sec	Sec	Sec	Sec

Site	Paramétre	T0 - Octobre 2015	T1 - Mai 2016	T2 - Octobre 2016	T3- Mai 2017	T4- septembre 2017	T5 - novembre 2017	T6-Mai 2018	T7-Septembre 2018	T8-Novembre 2018	T9-Avril 2019	T10 -Septembre 2019	T11-Novembre 2019	T12-Mai 2020	T13-Octobre 2020
	Etat de santé	Bon	Bon	Moyen	Moyen	Moyen	Moyen	Moyen	Moyen	Moyen	Moyen	Moyen	Moyen	Moyen	Bon
	Régénération	Modérée- 15%	Modérée- 15%	Modérée- 15%	Modérée- 15%	Modérée- 15%	Modérée- 15%	Modérée- 15%	Modérée- 15%	Modérée- 15%	Modérée- 15%				
	Poussiére	Moyen (40%)	Moyen (40%)	Moyen (40%)	Moyen (30%)	Moyen (30%)	Moyen (30%)	Moyen (30%)	Moyen (30%)	Moyen (30%)	Moyen (30%)	Moyen (30%)	Moyen (30%)	Moyen (30%)	Leger (<20%)
	Symptomes foliaires	Leger (<5%)	Leger (<5%)	Leger (5%)	Leger (5%)	Moyen (>5%)	Moyen (>5%)	Moyen (>5%)	Moyen (>5%)	Moyen (>5%)	Moyen (>5%)	Moyen (>5%)	Moyen (>5%)	Moyen (>5%)	Leger (5%)
CAAF	Debris ligneux (%)	10%	10%	10%	10%	10%	10%	10%	10%	10%	10	10	10	10%	10%
SIVIS	Coupe de bois	RAS	RAS	RAS	RAS	RAS	RAS	RAS	RAS	RAS	RAS	RAS	RAS	RAS	RAS
	Dechet	RAS	RAS	RAS	RAS	RAS	RAS	RAS	RAS	RAS	RAS	RAS	RAS	RAS	RAS
	Exogéne	RAS	RAS	RAS	cerf et Wasmannia	Rouille	Rouille	Rouille	Rouille Cochon	cochenille	Rouille et cochon	Rouille	Rouille	RAS	RAS
	Etat du cours d'eau														
	Bruit	Fort - >80dB	Moyen - 40 à 80dB	Fort - >80dB	Fort - >80dB	Fort - >80dB	Moyen - 40 à 80dB	Fort - >80dB	Moyen - 40 à 80dB	Fort - >80dB	Moyen - 40 à 80dB	Fort - >80dB	Moyen - 40 à 80dB	Moyen - 40 à 80dB	Leger - 20-40 dB



Site	Paramétre	T0 - Octobre 2015	T1 - Mai 2016	T2 - Octobre 2016	T3- Mai 2017	T4- septembre 2017	T5 - novembre 2017	T6-Mai 2018	T7-Septembre 2018	T8-Novembre 2018	T9-Avril 2019	T10 -Septembre 2019	T11-Novembre 2019	T12-Mai 2020	T13-Octobre 2020
	Etat de santé	Bon	Bon	Bon	Bon	Moyen	Moyen	Bon	Moyen	Bon	Bon	Bon	Bon	Bon	Bon
	Régénération	Modérée - 10 %	Modérée - 10 %	Modérée - 10 %	Modérée - 10 %	Modérée - 10 %	Modérée - 10 %	Modérée - 10 %	Modérée - 10 %	Modérée - 10 %	Modérée - 10 %	Modérée - 10 %	Modérée - 10 %	Modérée - 10 %	Modérée - 10 %
	Poussiére	Leger (<10%)	Leger (<10%)	Leger (<10%)	Leger (<10%)	Moyen (20%)	Moyen (20%)	Leger (10%)	Leger (10%)	Leger (10%)	Leger (10%)	Leger (10%)	Leger (10%)	Leger (10%)	Leger (10%)
	Symptomes foliaires	Leger (<5%)	Leger (<5%)	Leger (<5%)	Moyen (5%)	Moyen (5%)	Moyen (5%)	Moyen (5%)	Moyen (5%)	Moyen (5%)	Moyen (5%)	Moyen (5%)	Moyen (5%)	Moyen (<10%)	Moyen (<10%)
	Debris ligneux (%)	<5	<5	<5	10	10	10	10	10	10	10	10	10	10	10
M6	Coupe de bois	RAS	RAS	RAS	RAS	RAS	RAS	RAS	RAS	RAS	RAS	RAS	RAS	RAS	Tamanou
	Dechet	RAS	plastique	une bouteille plastique	RAS	RAS	RAS	RAS	RAS	RAS	RAS	RAS	RAS	RAS	RAS
	Exogéne	Polygala	Polygala et Wasmannia anoplolepis	Polygala et Wasmannia et anoplolepis	Polygala et rouille	Anoplolepis, polygala, rouille	Anoplolepis, polygala , rouille	Anoplolepis, polygala , rouille	Anoplolepis, polygala , rouille	Anoplolepis, polygala , rouille	Anoplolepis, polygala , rouille	Anoplolepis, polygala , rouille	Anoplolepis, polygala , rouille	Anoplolepis, polygala , rouille	Anoplolepis, polygala , rouille
	Etat du cours d'eau														
ŀ	Bruit	Leger - 20-40 dB	Leger - 20-40 dB	Moyen 40 à 80dB	Moyen 40 à 80dB	Fort - >80dB	Moyen 40 à 80dB	Leger - 20-40 dB	Leger - 20-40 dB	Leger - 20-40 dB	Moyen - 40 à 80dB	Leger - 20-40 dB	Leger - 20-40 dB	Leger - 20-40 dB	Leger - 20-40 dB

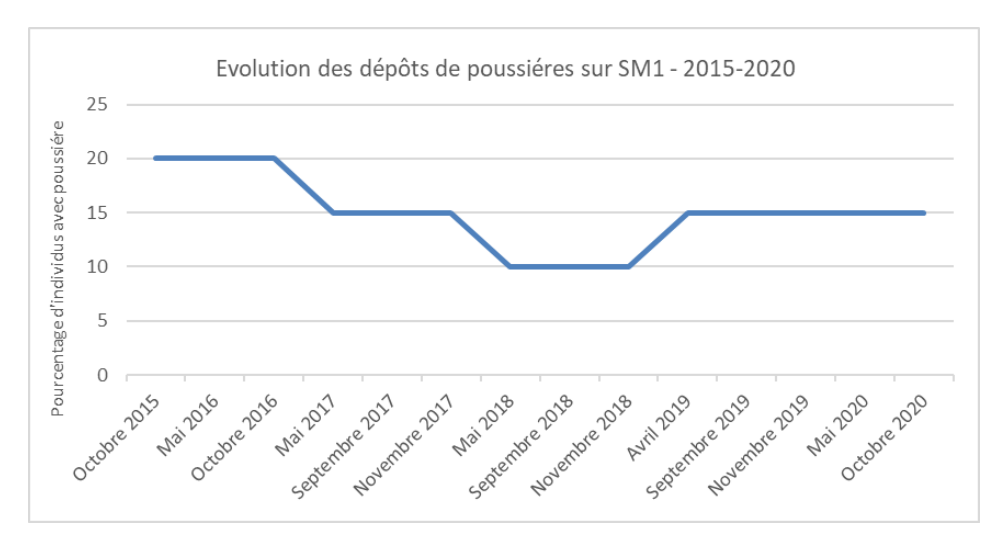
Site	Paramétre	TO - Octobre 2015	T1 - Mai 2016	T2 - Octobre 2016	T3- Mai 2017	T4- septembre 2017	T5 - novembre 2017	T6-Mai 2018	T7-Septembre 2018	T8-Novembre 2018	T9-Avril 2019	T10 -Septembre 2019	T11-Novembre 2019	T12-Mai 2020	T13-Octobre 2020
	Etat de santé	Bon	Bon	Bon	Bon	Bon	Moyen	Bon	Moyen	Moyen	Bon	Bon	Bon	Bon	Bon
	Régénération	Leger (<5%)	Leger (<5%)	Leger (<5%)	Leger (<5%)	Leger (<5%)	Leger (<5%)	Leger (<5%)	Leger (<5%)	Leger (<5%)	Leger (<5%)	Leger (<5%)	Leger (<5%)	Leger (<5%)	Leger (<5%)
	Poussiére	Moyen (20%)	Moyen (30%)	Moyen (30%)	Moyen (30%)	Moyen (30%)	Moyen (30%)	Moyen (30%)	Moyen (35%)	Moyen (35%)	Moyen (35%)	Moyen (30%)	Moyen (30%)	Moyen (30%)	Moyen (30%)
	Symptomes foliaires	Leger (1%)	Leger (1%)	Leger (1%)	Leger (1%)	Leger (>1%)	Leger (>1%)	Leger (>1%)	Leger (>1%)	Leger (>1%)	Leger (>1%)	Leger (>1%)	Leger (>1%)	Leger (>1%)	Leger (>1%)
CM7	Debris ligneux (%)	<1	<1	<1	5	5	5	>5	>5	>5	>5	>5	>5	>5	>5
SIVIZ	Coupe de bois	Vieille ligne tomo a proxi	NON	NON	NON	RAS	RAS	RAS	RAS	RAS	RAS	RAS	RAS	RAS	RAS
	Dechet	Rien	Rien	Rien	RAS	RAS	RAS	RAS	RAS	RAS	RAS	RAS	RAS	RAS	RAS
	Exogéne	Rouille	RAS	RAS	RAS	RAS	RAS	RAS	Rouille cerf	Cerf	Cerf	Cerf	Cerf et rouille	Cerf et rouille	RAS
	Etat du cours d'eau														
1	Bruit	Leger - 20-40 dB	Moyen - 40 à 80dB	Fort - >80dB	Moyen - 40 à 80dB	Fort - >80dB	Leger - 20-40 dB	Moyen - 40 à 80dB	Leger - 20-40 dB	Moyen - 40 à 80dB	Moyen - 40 à 80dB	Fort - >80dB	Fort - >80dB	Leger - 20-40 dB	Moyen - 40 à 80dB

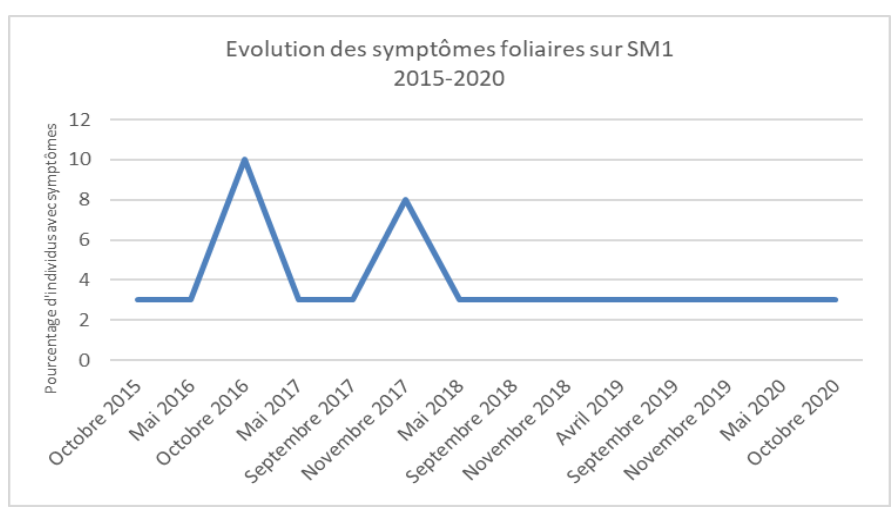
Site	Paramétre	TO - Octobre 2015	T1 - Mai 2016	T2 - Octobre 2016	T3- Mai 2017	T4- septembre 2017	T5 - novembre 2017	T6-Mai 2018	T7-Septembre 2018	T8-Novembre 2018	T9-Avril 2019	T10 -Septembre 2019	T11-Novembre 2019	T12-Mai 2020	T13-Octobre 2020
	Etat de santé	Bon	Bon	Bon	Bon	Moyen	Moyen	Bon	Bon	Bon	Bon	Bon	Bon	Bon	Moyen
	Régénération	Forte (20%)	Forte (20%)	Forte (20%)	Forte (20%)	Forte (20%)	Forte (20%)	Forte (20%)	Forte (20%)	Forte (20%)	Forte (20%)	Forte (20%)	Forte (20%)	Forte (20%)	Forte (20%)
	Poussiére	Moyen (20%)	Moyen (20%)	Moyen (20%)	Moyen (20%)	Moyen (20%)	Moyen (20%)	Moyen (20%)	Moyen (20%)	Moyen (20%)	Moyen (20%)	Moyen (20%)	Moyen (20%)	Moyen (20%)	Moyen (20%)
	Symptomes foliaires	Leger (1%)	Leger (1%)	Leger (1%)	Leger (1%)	Leger (>1%)	Leger (<5%)	Leger (<5%)	Leger (<5%)	Leger (<5%)	Leger (<5%)	Leger (<5%)	Leger (<5%)	Leger (<5%)	Leger (<5%)
	Debris ligneux (%)	5	5	5	10	10	10	15	15	15	15	15	15	15	15
SM8	Coupe de bois	RAS	RAS	RAS	RAS	Trace de passage. Quelq	RAS	RAS	RAS	RAS	RAS	RAS	RAS	RAS	RAS
	Dechet	2 surchaussures	RAS	RAS	RAS	RAS	RAS	RAS	RAS	RAS	RAS	RAS	Bouteille	RAS	RAS
	Exogéne	Wasmannia auropunctata + Rouille + Fumagine	Wasmannia auropunctata	Wasmannia auropunctata	RAS	Rouille	RAS	Anoplolepis	Anoplolepis	Anoplolepis	Anoplolepis	RAS	Cerf et rouille	Rouille	Rouille
	Etat du cours d'eau														
	Bruit	Leger - 20-40 dB	Leger - 20-40 dB	Fort - >80dB	Moyen - 40 à 80dB	Moyen - 40 à 80dB	Leger - 20-40 dB	Moyen - 40 à 80dB	Leger - 20-40 dB	Moyen - 40 à 80dB	Moyen - 40 à 80dB	Fort - >80dB	Moyen - 40 à 80dB	Leger - 20-40 dB	Moyen - 40 à 80dB

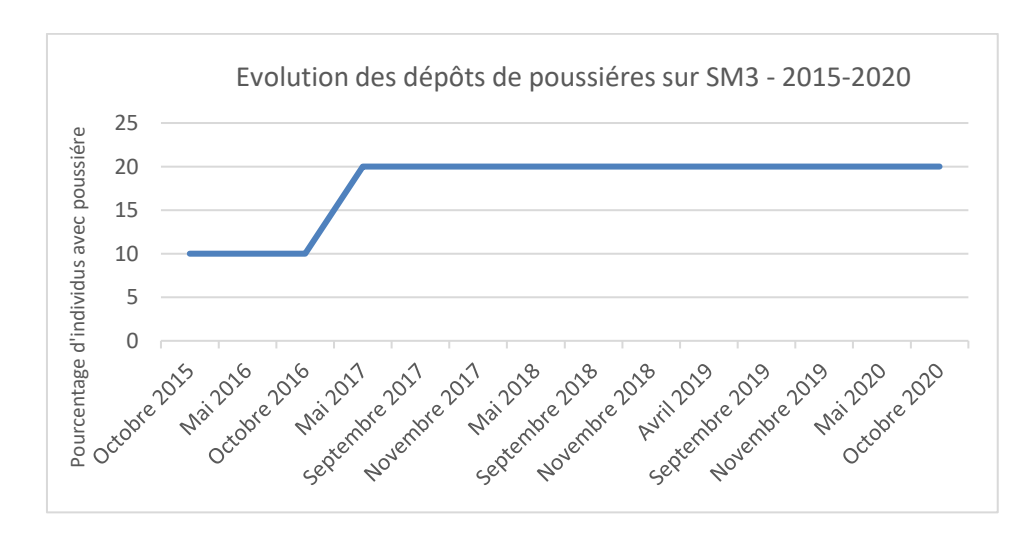
Site	Paramétre	TO - Octobre 2015	T1 - Mai 2016	T2 - Octobre 2016	T3- Mai 2017	T4- septembre 2017	T5 - novembre 2017	T6-Mai 2018	T7-Septembre 2018	T8-Novembre 2018	T9-Avril 2019	T10 -Septembre 2019	T11-Novembre 2019	T12-Mai 2020	T13-Octobre 2020
	Etat de santé				Bon	Bon	Moyen	Bon	Moyen	Moyen	Bon	Bon	Bon	Bon	Bon
	Régénération				Leger (5%)	Leger (5%)	Leger (5%)	Leger (5%)	Leger (5%)	Leger (5%)	Leger (5%)	Leger (5%)	Leger (5%)	Leger (5%)	Leger (5%)
	Poussiére				Leger (<5%)	Leger (<5%)	Leger (<5%)	Leger (<5%)	Leger (<5%)	Leger <5%)	Leger <5%)	Leger <5%)	Leger <5%)	Leger <5%)	Leger <5%)
	Symptomes foliaires				Leger (>1%)	Leger (>1%)	Moyen (>5%)	Leger (>1%)	Leger (<5%)	Moyen (>5%)	Leger (5%)	Leger (5%)	Leger (5%)	Leger (5%)	Leger (5%)
	Debris ligneux (%)				5	5	5	>5	>5	>5	>5	>5	>5	>5	>5
SM9	Coupe de bois				RAS	RAS	RAS	RAS	RAS	RAS	RAS	RAS	RAS	RAS	RAS
	Dechet				RAS	bout de bache, bouteille	RAS	RAS	RAS	Bouteille	Cannette, callasse	Bouteille	Papier	RAS	RAS
	Exogéne				Cochon + graminées	Rouille + graminées	Graminées invasive	Graminées invasive	Graminées invasive +	Graminées invasive +	Graminées invasive	Graminées invasive + cochon	Graminées invasive. Rouille	Rouille et graminées	
	Exogene				invasives	invasives	Grammees invasive	Grammees invasive	Rouille	cochon	Grammees invasive	Grammees invasive + cocnon	Graminees invasive, Routile	invasives	RAS
	Etat du cours d'eau														
	Bruit				Leger - 20-40 dB	Rien - 10 dB	Leger - 20-40 dB	Leger - 20-40 dB	Leger - 20-40 dB	Leger - 20-40 dB	Leger - 20-40 dB	Rien	Leger - 20-40 dB	Leger - 20-40 dB	Leger - 20-40 dB

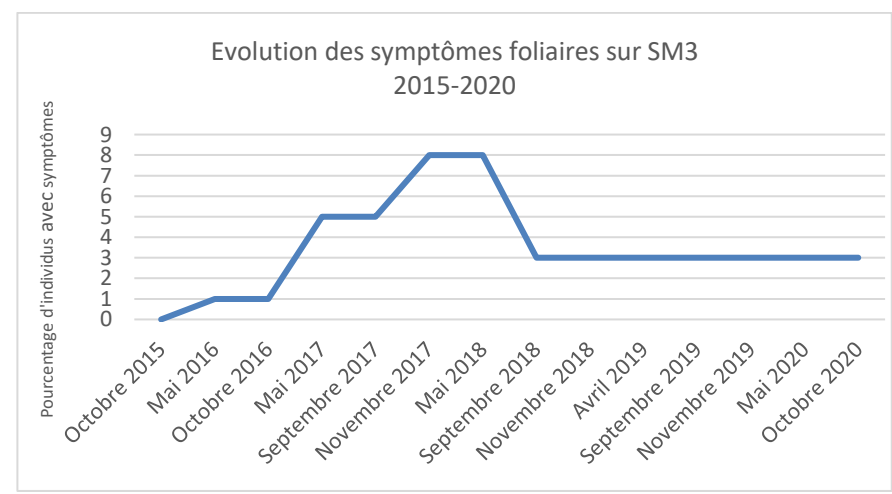


# Annexe 2 : Evolution des dépôts de poussière et des symptômes foliaires par site de suivi

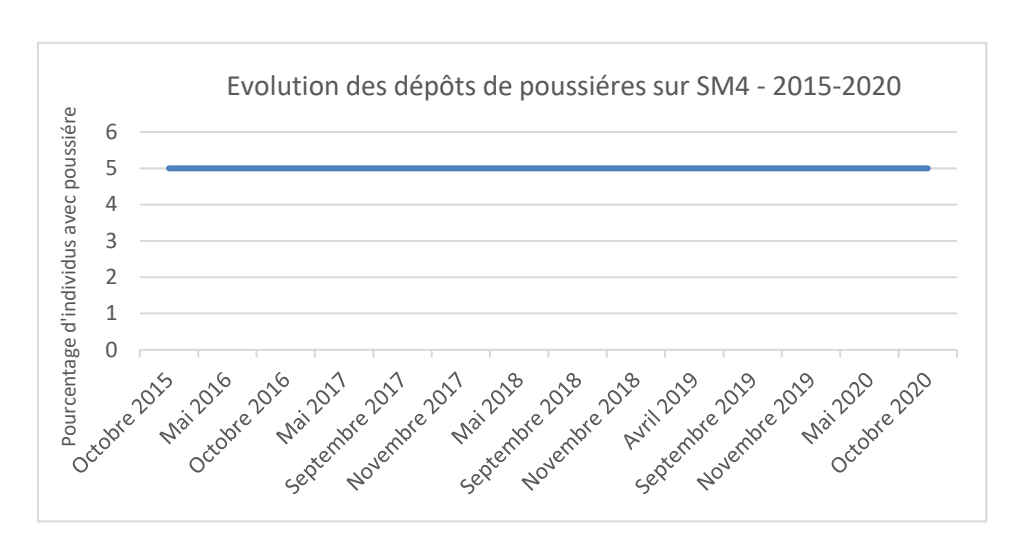


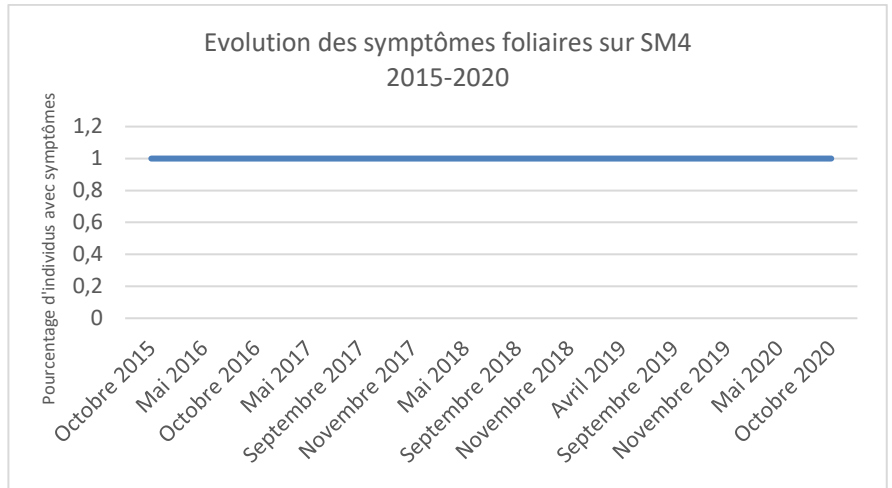


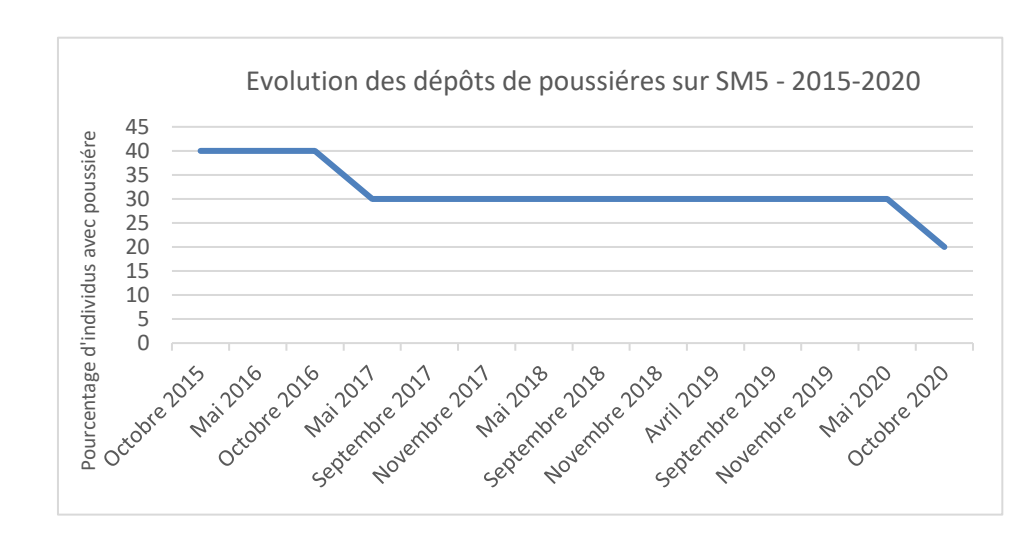


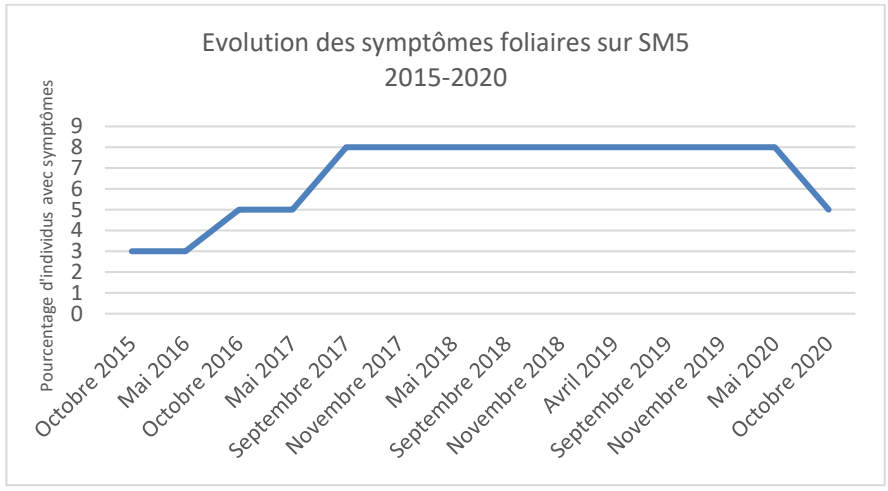




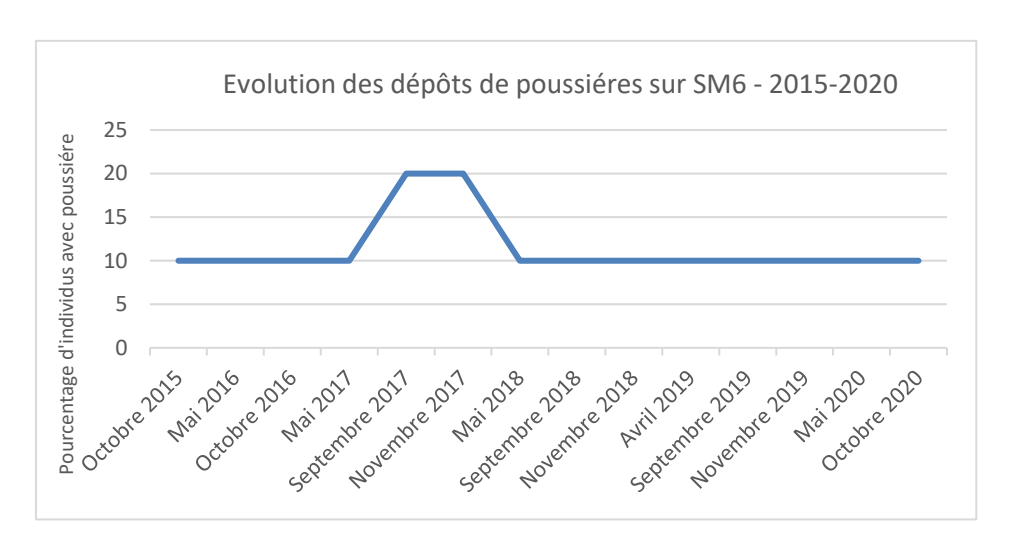


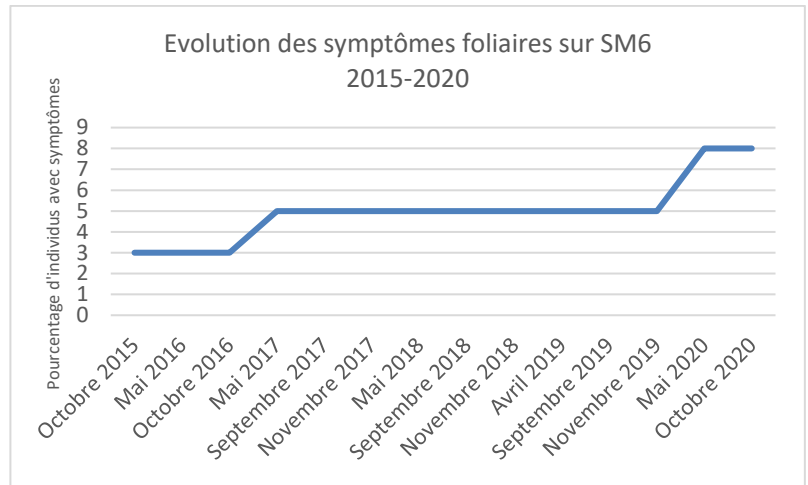


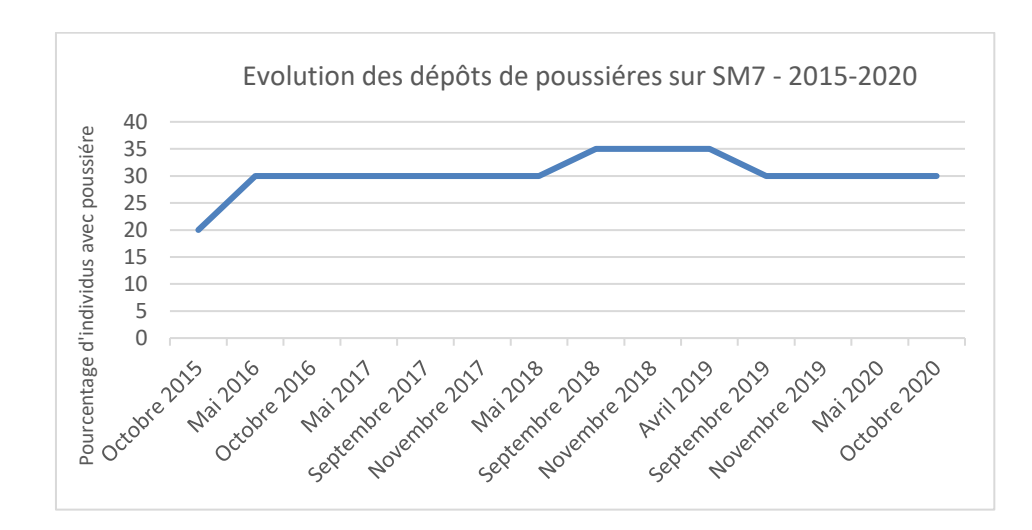


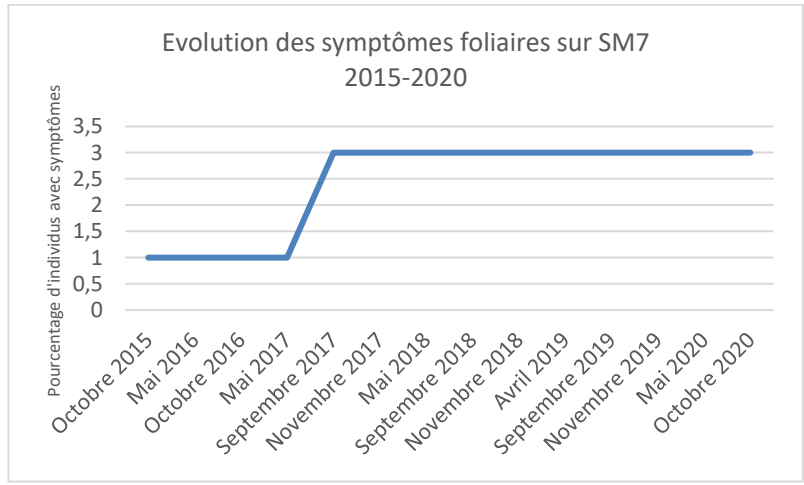




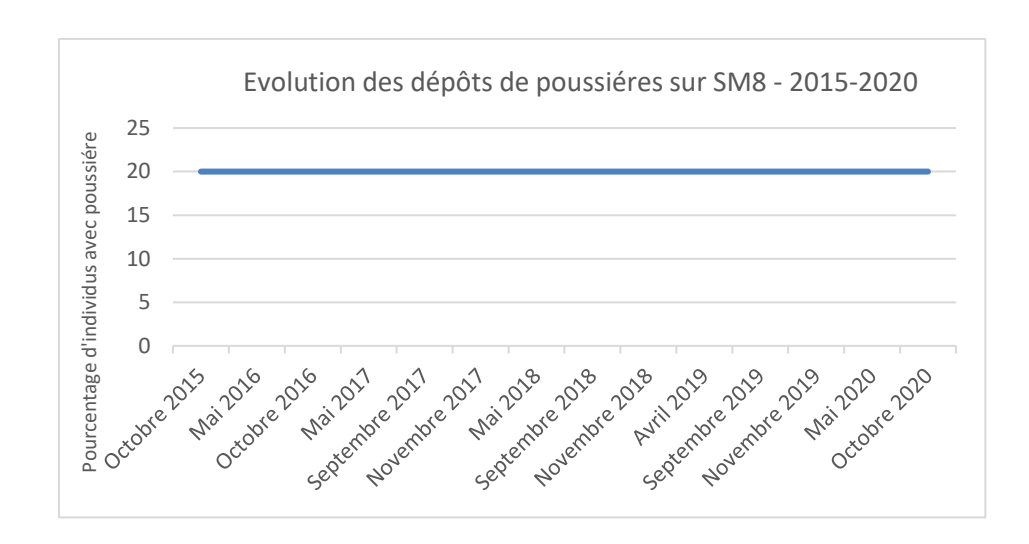


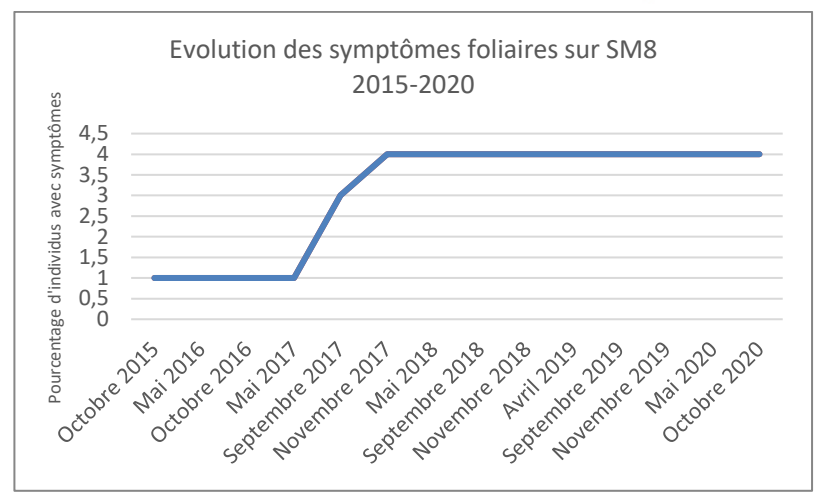


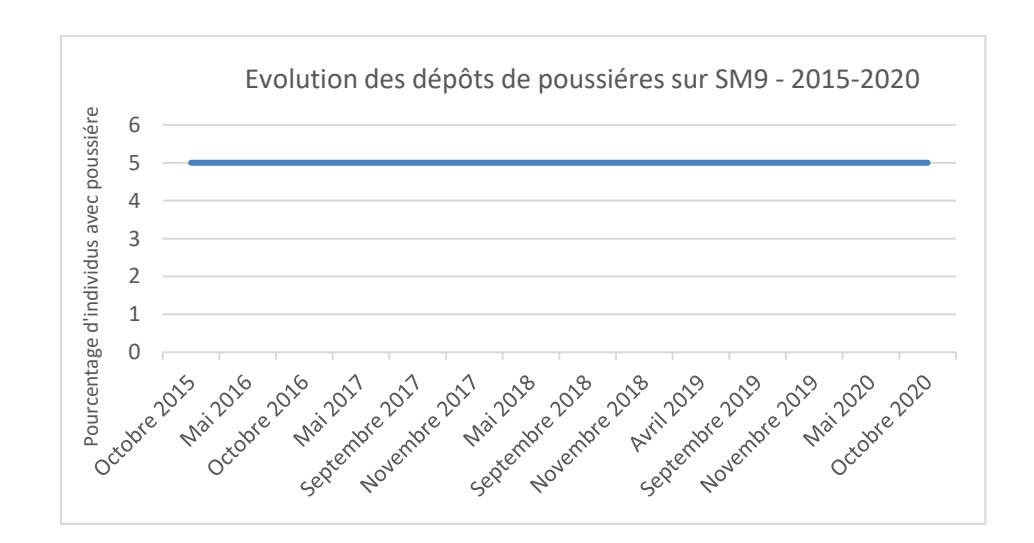


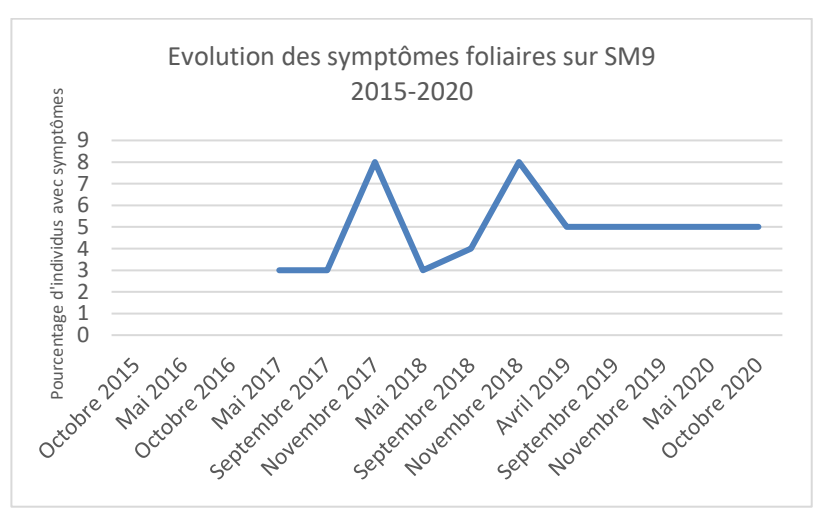






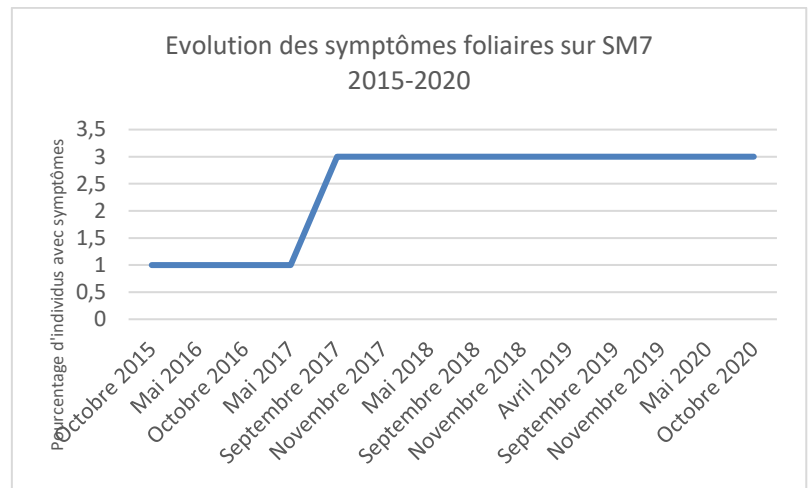














Annexe 2 : Activité photosynthétique (FV/Fm) : 2017 - 2020

		espèce	surcime	espèce s	ous bois	espèce	lisière	plant	ule 1	plant	ule 2
Site	date	valeur 1	valeur 2								
	27/04/2017	0,802	0,809	0,811	0,832	0,641	0,817	0,803	0,807	0,810	0,824
	07/09/2017	0,814	0,774	0,846	0,620	0,797	0,795	0,801	0,523	0,801	0,810
	07/11/2017	0,819	0,843	0,828	0,826	0,815	0,827	0,827	0,823	0,813	0,801
	06/09/2018	0,832	0,804	0,844	0,829	0,810	0,819	0,633	0,797	0,820	0,817
SM1	11/12/2018	0,799	0,801	0,832	0,785	0,789	0,801	0,685	0,733	0,812	0,809
	17/09/2019	0,742	0,805	0,829	0,822	0,794	0,792	0,792	0,786	0,814	0,816
	11/11/2019	0,807	0,790	0,795	0,817	0,833	0,821	0,752	0,754	0,490	0,505
	27/05/2020	0,808	0,810	0,840	0,814	0,771	0,758	0,830	0,834	0,815	0,808
	07/10/2020	0,787	0,822	0,745	0,820	0,795	0,792	0,827	0,826	0,814	0,810
	02/05/2017	0,852	0,841	0,854	0,856	0,857	0,830	0,849	0,817	0,847	0,820
	11/09/2017	0,818	0,787	0,837	0,840	0,776	0,817	0,829	0,831	0,821	0,832
	09/11/2017	0,837	0,846	0,840	0,829	0,824	0,826	0,816	0,794	0,807	0,775
	13/09/2018	0,743	0,776	0,844	0,848	0,819	0,781	0,820	0,816	0,813	0,815
SM3	11/12/2018	0,797	0,797	0,839	0,828	0,829	0,818	0,829	0,825	0,785	0,818
31013	18/09/2019	0,776	0,797	0,841	0,827	0,775	0,797	0,838	0,837	0,858	0,806
	14/11/2019	0,779	0,781	0,809	0,836	0,775	0,810	0,822	0,820	0,807	0,819
	03/06/2020	0,841	0,823	0,860	0,851	0,834	0,829	0,815	0,829	0,832	0,826
	22/06/2020	0,824	0,810	0,821	0,832	0,789	0,819	0,818	0,817	0,792	0,788
	21/10/2020	0,813	0,802	0,822	0,500	0,818	0,757	0,655	0,818	0,833	0,826



		espèce	surcime	espèce s	ous bois	espèce	lisière	plant	ule 1	plant	ule 2
Site	date	valeur 1	valeur 2								
	27/04/2017	0,839	0,840	0,697	0,656	0,798	0,803	0,798	0,803	0,804	0,820
	07/09/2017	0,813	0,810	0,807	0,808	0,728	0,739	0,800	0,777	0,786	0,767
	07/11/2017	0,826	0,825	0,841	0,839	0,771	0,798	0,808	0,777	0,798	0,797
	06/09/2018	0,807	0,774	0,821	0,821	0,781	0,792	0,777	0,775	0,807	0,798
SM4	11/12/2018	0,749	0,799	0,804	0,808	0,767	0,625	0,780	0,790	0,792	0,762
	18/09/2019	0,764	0,748	0,827	0,826	0,734	0,716	0,804	0,816	0,742	0,731
	14/11/2019	0,795	0,785	0,819	0,829	0,761	0,810	0,811	0,811	0,693	0,696
	27/05/2020	0,828	0,809	0,817	0,772	0,810	0,816	0,807	0,812	0,821	0,820
	07/10/2020	0,773	0,784	0,806	0,788	0,783	0,803	0,766	0,798	0,766	0,794
	04/05/2017	0,778	0,798	0,828	0,835	0,725	0,807	0,794	0,769	0,818	0,816
	12/09/2017	0,714	0,757	0,830	0,821	0,782	0,775	0,782	0,774	0,800	0,794
	07/11/2017	0,819	0,818	0,837	0,854	0,801	0,798	0,809	0,805	0,780	0,771
	04/09/2018	0,519	0,764			0,810	0,800	0,764	0,784	0,761	0,613
SM5	04/12/2018	0,718	0,791	0,823	0,829	0,630	0,728	0,657	0,779	0,801	0,795
	17/09/2019	0,753	0,725	0,828	0,831	0,785	0,792	0,766	0,746	0,672	0,796
	04/11/2019	0,803	0,798	0,850	0,819	0,821	0,802	0,782	0,797	0,788	0,785
	25/05/2020	0,819	0,824	0,866	0,855	0,817	0,825	0,803	0,811	0,817	0,833
	22/09/2020	0,774	0,788	0,836	0,844	0,809	0,784	0,755	0,774	0,779	0,776



		espèce	surcime	espèce s	ous bois	espèce	lisière	plant	ule 1	plant	ule 2
Site	date	valeur 1	valeur 2								
	02/05/2017	0,828	0,832	0,848	0,852	0,823	0,749	0,816	0,822	0,830	0,829
	11/09/2017	0,821	0,818	0,810	0,798	0,858	0,855	0,802	0,812	0,816	0,823
	09/11/2017	0,843	0,799	0,822	0,827	0,807	0,796	0,808	0,822	0,677	0,788
SM6	04/09/2018	0,841	0,833	0,807	0,668	0,808	0,480	0,815	0,633	0,805	0,650
SIVIO	27/11/2018	0,727	0,794	0,768	0,741	0,777	0,741	0,787	0,759	0,829	0,834
	16/09/2019	0,740	0,796	0,846	0,827	0,714	0,740	0,816	0,818	0,767	0,718
	11/11/2019	0,754	0,791	0,816	0,798	0,801	0,805	0,707	0,803	0,796	0,791
	13/05/2020	0,781	0,789	0,829	0,828	0,780	0,818	0,786	0,713	0,784	0,807
	04/05/2017	0,828	0,833	0,859	0,844	0,800	0,817	0,823	0,810	0,829	0,829
	13/09/2017	0,805	0,807	0,805	0,860	0,795	0,814	0,829	0,826	0,797	0,801
	08/11/2017	0,782	0,717	0,855	0,842	0,798	0,799	0,808	0,808	0,814	0,814
	11/09/2018	0,816	0,800	0,846	0,847	0,796	0,585	0,795	0,796	0,791	0,791
SM7	04/12/2018	0,752	0,767	0,855	0,843	0,759	0,800	0,778	0,796	0,794	0,798
	17/09/2019	0,777	0,787	0,856	0,855	0,827	0,799	0,805	0,821	0,825	0,812
	12/11/2019	0,828	0,818	0,835	0,854	0,650	0,699	0,786	0,781	0,822	0,831
	13/05/2020	0,832	0,829	0,847	0,861	0,835	0,804	0,815	0,802	0,825	0,824
	06/10/2020	0,799	0,794	0,830	0,843	0,745	0,735	0,774	0,793	0,814	0,822



		espèce	surcime	espèce s	ous bois	espèce	lisière	plant	ule 1	plant	ule 2
Site	date	valeur 1	valeur 2								
	03/05/2017	0,810	0,802	0,850	0,850	0,832	0,810	0,831	0,827	0,832	0,835
	12/09/2017	0,769	0,757	0,838	0,841	0,808	0,813	0,815	0,819	0,822	0,820
	08/11/2017	0,744	0,768	0,856	0,827	0,726	0,738	0,824	0,826	0,821	0,819
	04/09/2018	0,778	0,754	0,827	0,841	0,758	0,795	0,778	0,783	0,816	0,821
SM8	04/12/2018	0,782	0,790	0,814	0,821	0,436	0,530	0,789	0,769	0,822	0,818
	16/09/2019	0,728	0,744	0,828	0,852	0,744	0,698	0,796	0,801	0,824	0,820
	04/11/2019	0,785	0,775	0,839	0,844	0,771	0,591	0,768	0,763	0,819	0,795
	13/05/2020	0,721	0,781	0,814	0,823	0,810	0,824	0,784	0,759	0,817	0,819
	16/09/2020	0,822	0,809	0,813	0,813	0,783	0,800	0,815	0,785	0,814	0,816
	04/05/2017	0,618	0,834	0,859	0,854	0,799	0,777	0,814	0,821	0,825	0,816
	12/09/2017	0,767	0,808	0,683	0,686	0,821	0,844	0,779	0,778	0,785	0,783
	15/11/2017	0,788	0,765	0,808	0,813	0,560	0,681	0,678	0,789	0,775	0,698
	04/09/2018	0,536	0,778	0,816	0,848	0,651	0,702	0,722	0,724	0,681	0,688
SM9	27/11/2018	0,738	0,779	0,782	0,820	0,709	0,729	0,810	0,810	0,785	0,810
	16/09/2019	0,754	0,759	0,830	0,825	0,604	0,712	0,820	0,759	0,790	0,777
	04/11/2019	0,808	0,813	0,831	0,836	0,766	0,724	0,804	0,809	0,817	0,818
	12/05/2020	0,817	0,818	0,829	0,808	0,816	0,820	0,805	0,800	0,795	0,794
	16/09/2020	0,787	0,769	0,674	0,742	0,820	0,813	0,793	0,798	0,771	0,746